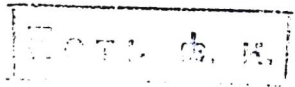


Th-Ga

InGa, InSn, InBi, InPb, AlGe V 5700
(Tkper.) 1961

Seraphim D.P., Chion C., Quinn D. J.

Acta metallurgica, 1961, 9, v9, 861-869.



In-As-9a
1964

InAs₃Se₃

Tm.

The indium-arsenic-selenium system. N. P. Luzhnaya, G. K. Slavnova, Z. S. Medvedeva, and A. A. Eliseev. *Zh. Neorgan. Khim.* 9(5), 1174-81(1964). Alloys of the In-As-Se system were studied by thermal, x-ray, and microstructural analysis along the InAs-As₂Se₃ cross section and these data were used to det. the diagram for the surface of liquidus for the ternary system. The presence of the ternary compd. InAs₃Se₃, m. coherently at 800°, was established. The existence of a small region of solid solns. based on InAs (up to ~10 mole % As₂Se₃) was indicated.

GLJR

C.I. 1964 Q NY 3743 e.

1964

V-5795

Ge-Si, InSb-GaSb, InSb-AlSb,

InSb-InAs, InAs-GaAS, InAs-InP(АН mix).

Никитина Г.В., Романенко В.Н.

Изв. АН СССР Металлург. и горное дело,

1964, №6, 156-60.

Расчет фазовые диаграммы полупроводниковых систем.

RM, 1965, 343

на А, Б F

In Ga O₃

1968

Синтез

7 Б476. Синтез и структура фаз в системе In₂O₃—Ga₂O₃. Shannon R. D., Prewitt C. T. Synthesis and structure of phases in the In₂O₃—Ga₂O₃ system. «J. Inorg. and Nucl. Chem.», 1968, 30, № 6, 1389—1398 (англ.)

В процессе исследования системы In₂O₃—Ga₂O₃ синтезированы (прямым сплавлением окислов при т-ре 1200° и давлении 65 кбар, или же сплавлением окислов в шихтах различного состава: PbF₂, PbO—B₂O₃ и т. д.) и рентгенографически изучены (методы порошка и пр-цессии, λ Cu-K_a и съемка на рентгенофрактометре, λ Mo-K_a) тв. р-ры состава Ga_{2-x}In_xO₃ ($x=0,0—1,0$) (I), к-рые имеют структуру типа β -Ga₂O₃, ф. гр. C2/m; параметры решетки меняются в зависимости от x : a 12,30—12,84, b 3,05—3,20, c 5,82—5,99 Å; β 102,4°

T_{t2}

Х 1969.

7

ы, к:

$103,7^\circ$ (приведены графики). Атомы O образуют плотнейшую кубич. упаковку, атомы Ga упорядоченно занимают тетраэдрич. и октаэдрич. пустоты. Тв. р-р состава InGaO_3 при повышенном давлении переходит в гексагон. полиморфную модификацию InGaO_3 (II) с параметрами решетки: $a = 3,310$, $c = 12,039 \text{ \AA}$; $\rho(\text{выч.}) = 6,756$; $Z = 2$; ф. гр. $P\bar{6}_3/mmc$. Структура II, изотипная с YAlO_3 уточнена по синтезам электронной плотности и методом наименьших квадратов (анизотропное приближение, $R = 0,028$). Атом In находится в тригональной антипризме (межатомные расстояния Zn—O). На большем расстоянии 2 атома O (In—O 3,010), лежащие выше и ниже граней антипризмы, перпендикулярных оси c. Атом Ga находится в тригон. бипирамиде (Ga—O 1,911, 1,973). Отмечено, что переход I \rightarrow II при высоком давлении сопровождается как изменением координации атомов Ga, (с четырехкратной на пятикратную), так и типа плотнейшей упаковки (с кубич. на гексагон.); структура II представляет собой первый пример структуры с ионом Ga^{3+} в пятикратной координации. Найдено, что структура II весьма близка к структуре YMnO_3 , также содержащей ион Mn^{3+} в пятикратной координации.

С. В. Рыкова

1968.

Ufimtsev B. F., Viodoro-
vich V. N., Khestibnikov
A. N.

Izv. Vuz, Tsvet. Met.,
11(5), 60.

Saturation vapor pres-
sure over indium ar-
senide - gallium ar-
senide melts.

Hall, Mull, B4P-6461-IV 1969

T_m

36503s Gallium dichloride-indium dichloride system. Fedorov, P. I.; Lovetskaya, G. A. (Mosk. Inst. Tonkoi Khim. Tekhnol. im. Lomonosova, Moscow, USSR). *Zh. Neorg. Khim.* 1969, 14(11), 3175-7 (Russ). The phase diagram of the GaCl₂-InCl₂ system is presented. The system forms a 1:1 compd., congruently m. 262°, which forms a series of solid solns. with InCl₂ and GaCl₂, having min. at 98 mole % GaCl₂ and 161° and 11.5 mole % GaCl₂ and 224°.

HMJR

C.A.

1970.42.2

1969

In-Ga

83422z Reassessment of the system indium-gallium. Hayes,
Frederick H.; Kubashchewski, O. (Chem. Stand. Div., Nat.
Phys. Lab., Teddington, Engl.). J. Inst. Metals 1969, 97(12),

Report

Ch. 69

C.A. 1970. 42.

16

381-3 (Eng.) A crit. review of
the thermal and thermochim.
data and the thermodynamic
properties of the In-Ga
system shows that the
eutectic compn. at 15,8°
is 14,2 atom % In.

1969

Ga - In ΔH_{mix}

(64959) Enthalpy of formation of gallium-indium alloys.
Mechkovskii, L. A.; Vecher, A. A. (Belorus. Gos. Univ. im. Lenina, Minsk, USSR). *Zh. Fiz. Khim.* 1969, 43(5), 1346-8 (Russ.). The heat of mixing of Ga-In melts from the liq. component at 170° was detd. by D.T.A. The relation $b = \Delta H / x(1 - x)$ was found, where x is the mole fraction of In and $b = 1039 \pm 43$ cal./g.-atom.

J. L. Stiff

C.A. 1969 • H. 14

XV-3410.

1969

Ga In Se
2 3

4 Б1185. Исследование системы GaSe—InSe. Mu-
schinsky W. P., Pawlenko N. M. Untersuchung des
Systems GaSe—InSe. «Kristall und Techn.», 1969, 4,
№ 2, K5—K7. (нем.)

Система GaSe—InSe исследована методами термич.
и рентгеновского анализов, на образцах монокристал-
лов, выращенных по методу Бриджмена и подвергнутых
длительному отжигу. В системе установлено соединение
Ga₂InSe₃, к-рое плавится инконгруэнтно при 645°.
В GaSe при 400° р-ряется до 20 мол. % InSe, в InSe при
400° — до 10 мол. % GaSe. Эвтектика Ga₂InSe₃+тв.
р-р γ-InSe плавится при 580°.

Л. В. Шведов

Tm

X·1970. 4

XV-3410

1969

Ga₂InSe
—2— 3

6819g Gallium selenide-indium selenide system. Mushinskii, V. P.; Pavlenko, N. M. (Staatsuniv. Kishinev, Kishinev,

USSR). *Krist. Tech.* 1969, 4(2), (K5)-(K7) (Ger). The quasi-binary phase diagram of GaSe-InSe was studied. Extensive solid-soln. formation was found. Single crystals could be grown by the Bridgman method. X-ray cell consts. and condns. were measured. Liquidus and solidus temps. were found from heating curves, because supercooling was a prevalent phenomenon. A peritectic at the compn. Ga₂InSe; melts incongruently at 645°.

H. S. Peiser

T_m

70

C.A. 1969

72.2

1969

ЗР-1-6342

In₂S₃ · Ga₂S₃

14 Б693. Тройной сульфид индия и галлия. Зарга-
рова М. И., Гамидов Р. С. «Изв. АН СССР. Неор-
ганические материалы», 1969, 5, № 2; 371

Изучена диаграмма плавкости системы $\text{In}_2\text{S}_3 + \text{Ga}_2\text{S}_3$. Вблизи Ga_2S_3 установлена узкая область промежуточности. При мол. соотношении исходных компонентов 1:1 образуется инкогруэнтно плавящееся соединение, к-ое принадлежит к кристаллам гексагональной сингонии и образует структуру типа плотнейшей упаковки с параметрами $a = 3,86 \text{ \AA}$, $c = 17,4 \text{ \AA}$. На основании погасания рефлексов предполагается пространственная группа $D_{6h}^4 = C_6/mmc$ или $C_{6v}^4 = C_{6mc}$.

Автореферат

T_mX. 1969.14

1970

 Ga_2InSe_3

108617b Physicochemical properties of gallium-indium-selenium and gallium-indium-sulfur ternary system crystals. Ambros, V. P.; Andronik, I. Ya.; Mushinskii, V. P.; Pavlenko, N. M. (USSR). *Nekot. Vop. Khim. Fiz. Poluprov, Slozhnogo Sostava, Mater. Vses. Simp.*, 3rd 1969 (Pub. 1970), 238-42 (Russ). Edited by Golovei, M. I. Uzhgorod. Gos. Univ.: Uzhgorod, USSR. Phase diagrams for $\text{Ga}_2\text{Se}_3-\text{In}_2\text{Se}_3$, $\text{Ga}_2\text{S}_3-\text{In}_2\text{S}_3$, $\text{GaSe}-\text{InSe}$, and $\text{GaS}-\text{InS}$ systems were studied by thermal, x-ray, microstructure, and microhardness analyses. In the $\text{Ga}_2\text{Se}_3-\text{In}_2\text{Se}_3$ system, a morphotropic transition was obsd. from a disordered cubic structure (75-100 mole % Ga_2Se_3) and a partly ordered wurtzite-type (60-70 mole % Ga_2Se_3) to an ordered β - In_2Se_3 (8-50 mole % Ga_2Se_3). In the $\text{Ga}_2\text{S}_3-\text{In}_2\text{S}_3$ system, solid solns. $\text{Ga}_{2x}\text{In}_{2(1-x)}\text{S}_3$ are formed at $0.42 \leq x \leq 0.5$. In the $\text{GaSe}-\text{InSe}$ system, Ga_2InSe_3 forms, incongruently m. 654° . Mutual solubilities of InSe and GaSe are 20 and 10 mole %, resp. In the $\text{GaS}-\text{InS}$ system, GaInS_2 (cubic structure, $a = 6.2 \text{ \AA}$) was obsd. Mutual solubilities of InS and GaS are similar (~ 5 mole %).

Sharad P. Pednekar

C. A. 1973, 79 n18

InGaO₃

XIV-3

1970

1 Б878. Фазы высокого давления InGaO₃ и In₂O₃.
Marezio M., Waintal A., Chenavas J., Capporini J. J., Gondrand M. High pressure phases of InGaO₃ and In₂O₃. «Colloq. int. CNRS», 1970, № 188, 403—407.
Discuss., 407 (англ.; рез. франц.)

Изучен полиморфизм InGaO₃ и In₂O₃ при повышенном давл. У InGaO₃, наряду с известными модификациями β -InGaO₃ и InGaO₃-II со структурами типа β -Ga₂O₃ и гексагональной, с координац. числами для In и Ga 6 и 5 соотв., установлены модификации: InGaO₃-III со структурой типа корунда (a 5,295; c 13,970 Å), полученная при 40 кбар и 1000° в присутствии H₂O, и InGaO₃-IV, синтезированная при давл. > 40 кбар и имеющая

(+1) (см. также
In₂O₃)

X. 1981. 1

IX

струкутуру типа перовскита (параметры ромбич. решетки a 5,176; b 5,365; c 7,548 Å). Фазовые переходы InGaO₃ с ростом давл. характеризуются увеличением координац. чисел катионов. In₂O₃ претерпевает фазовый переход при т-ре 1100° и давл. 110 кбар, образуя модификацию III со структурой типа перовскита, к-рая не индексируется в ромбич. ячейке; атомы In занимают в решетке как A-, так и В-позиции. Координац. число In при переходе In₂O₃-II \rightarrow In₂O₃-III увеличивается с 6 до 8.

Л. В. Шведов

GaInS₃

XV-351

1970

12 Б796. Диаграмма состояния системы Ga_2S_3 — In_2S_3 .
Muschinsky V. P., Ambross V. P. Zustands-diagramm des Systems Ga_2S_3 — In_2S_3 . «Kristall und Techn.», 1970, 5, № 4, K5—K7 (нем.)

Методами рентгеновского и термич. анализов, а также определением микротвердости изучена система Ga_2S_3 — In_2S_3 . Установлена ограниченная взаимная р-римость компонентов в пределах $0 < x < 0,15$ и $0,8 < x < 1$ для состава $\text{Ga}_{2x}\text{In}_{2(1-x)}\text{S}_3$, причем тв. р-р на основе In_2S_3 имеет 3 модификации: α, β и γ. Соединение GaInS_3 плавится инконгруэнтно при 920° и образует в области $0,425 < x < 0,50$ св. р-р с гексагон. структурой. Л. В. Шведов

T_m

X· 1981· 12

Ga_{2x}In_{2(1-x)}

140407u Physicochemical properties of the gallium telluride-indium telluride system. Mushinskaya, K. M.; Tyrzui, V. G. (USSR). *Nekot. Vop. Khim. Fiz. Poluprov. Slozhnogo Sostava, Mater. Vses. Simp.*, 3rd 1969 (Pub. 1970), 234-7 (Russ). Edited by Golovei, M. I. Uzhgorod. Gos. Univ.: Uzhgorod, USSR.

Single crystals of $\text{Ga}_{2x}\text{In}_{2(1-x)}\text{Te}_3$ were grown by the Bridgman method. Powder diagrams of all the synthesized crystals ($0 \leq x \leq 1$) contain a small no. of predominantly strong lines of the sphalerite type. Long annealing of crystals with $0 \leq x \leq 0.4$ produces addnl. lines on the powder diagrams; the intensity increases with duration of annealing. The x-ray pattern of a crystal with $x = 0$ (In_2Te_3) with addnl. lines is indexed at a 18.40 Å which agrees well with a 18.45 Å for In_2Te_3 . As a result of prolonged annealing of crystals with $0 \leq x \leq 0.4$, ordered solid solns. are formed; the optimum conditions for ordering are 620° and 500 hr. Quenching from 640° in water eliminates the ordered structure. The order-disorder transition is fully reversible. Thermal cond. for nonordered crystals of $\text{Ga}_{2x}\text{In}_{2(1-x)}\text{Te}_3$ is a weak function of temp. and is relatively small. In the range $250 \leq 440^\circ\text{K}$ the thermal cond. can be expressed as $\chi_p \sim T^{-n}$ where n varies from 0.65 to 0.4 when the compn. changes from $x = 0$ to $x = 1.0$.

M. Braunovic

1970

Aug. 2014.

CB - fa

CA 1973

79 N24

$InGaCl_4$

$In - Ga - Cl$

1971

20 Б653. Тройные системы из хлоридов индия и галлия. Федоров П. И., Ловецкая Г. А. «Ж. неорган. химии», 1971, 16, № 7, 1993—1998

Методами термич. рентгенофазового и хим. анализов изучена тройная система индий—галлий—хлор в области существования солевых фаз. Триангуляция системы определяется существованием тройного конгруэнтио плавящегося соединения $InGaCl_4$. Стабильными сечениями система разбивается на 7 треугольников; в 3 из к-рых солевые фазы сосуществуют с металлическими. В области существования солевых фаз определены границы полей кристаллизации, установлены составы и т-ры тройных эвтектич. и перитектич. точек. Найдены 2 тройных инконгруэнтио плавящихся соединения состава In_3GaCl_7 и $In_5Ga_3Cl_{14}$, для к-рых предполагается строение типа хилонита.

Автореферат

X·1971.20

Bsp - 269-XV

InGaO

Fred J. Kobl

1971.

InGaO₂

Carl A. Stearns

Summer 1971

remember NASA.

TN - D - 6318

mass-spectrometric identifi-
cation of InGaO and
InGaO₂ and
Garnet.

In-Ga-O

1941

10451k Vaporization of some Group IIIA metal-metal oxide systems: mass spectrometric identification of indium gallium oxides (InGaO and InGaO_2) and gallium aluminum oxide (GaAlO). Kohl, Fred J.; Stearns, Carl A. (Lewis Res. Cent., NASA, Cleveland, Ohio). *NASA Tech. Note 1971*, NASA TN D-6318, 17 pp. (Eng). The vaporization of the systems $\text{In} + \text{Ga}_2\text{O}_3$ and $\text{Ga} + \text{Al}_2\text{O}_3$ was studied by the Knudsen effusion mass spectrometric method. Gaseous mols. InGaO , InGaO_2 , and GaAlO were pos. identified. The atomization energy of InGaO was detd. to be $818 \pm 17 \text{ kJ mole}^{-1}$. The vaporization of the systems $\text{In} + \text{In}_2\text{O}_3$, $\text{Ga} + \text{Ga}_2\text{O}_3$, and $\text{Al} + \text{Al}_2\text{O}_3$ was reexamd. Parent mols. were identified and their relative intensities were measured. The only vaporization products significant with respect to effusive wt. loss are the at. species and M_2O -type mols. The feasibility of studying M_2O species by the ir matrix isolation technique was considered.

(+) Ba^{+}O

C.A. 1971 452



InSb-GaSb

BP-463-XV

1944

(123056) Enthalpies of formation of indium antimonide-gallium antimonide solid and molten solutions. Mechkovskii, L. A.; Savitskii, A. A.; Skums, V. F.; Vecher, A. A. (Beloruss. Gos. Univ. im. Lenina, Minsk, USSR). *Zh. Fiz. Khim.* 1971, 45(8), 2016-17 (Russ). The enthalpy of formation of InSb-GaSb alloy from liq. components is -50 cal/g atom. Detn. of the m.p. of InSb-GaSb alloys with varying concn. of GaSb gave the ΔH_f of equimolar InSb-GaSb from solid components as -0.68 kcal/g atom. M. Dokladal

C.H. 1944. 45.20

In_xGa_{1-x}P 1 E883. Тепловое расширение сплавов In_xGa_{1-x}P.
Kudman I., Paff R. J. Thermal expansion of In_x-
Ga_{1-x}P alloys. «J. Appl. Phys.», 1972, 43, № 9, 3760—3762
(англ.)

1972

Измерения периода решетки проведены рентгеновским методом в области т-р от 15 до 650° С. Коэф. теплового расширения линейно изменяется от $(4,75 \pm 0,1) \cdot 10^{-6}$ 1/град для InP до $(5,9 \pm 0,1) \cdot 10^{-6}$ 1/град для GaP.
Библ. 12.

расшиф

Форм -73-1

In_xGa_{1-x}As

14.72

состав

1 E586. Термодинамические расчеты реакций, протекающих при росте $\text{In}_x\text{Ga}_{1-x}\text{As}$ из газовой фазы. Система In—Ga—As—Cl—H. Minagawa Shigekazu, Seki Hisashi, Eguchi Hiroshi. Thermodynamic calculation for the vapor growth of $\text{In}_x\text{Ga}_{1-x}\text{As}$. The In—Ga—As—Cl—H system. «Jap. J. Appl. Phys.», 1972, 11, № 6, 855—859 (англ.)

Термодинамический анализ реакций, протекающих при получении кристаллов $\text{In}_x\text{Ga}_{1-x}\text{As}$ из газовой фазы, позволил найти зависимость состава газовой фазы от т-ры, отношения Cl/H и других параметров. Определена также зависимость равновесного состава кристаллов

от состава газовой фазы. Результаты расчета удовлетворительно согласуются с экспериментом.

Б. Могутнов

P. ф_н-73

-1

In-Ga

1972

90731k System indium-gallium. Thermodynamics and computed phase equilibria. Rao, M. V.; Tiller, W. A. (Dep. Mater. Sci., Stanford Univ., Stanford, Calif.). *J. Mater. Sci.* 1972, 7(1), 14-18 (Eng). The accepted solidus on the In-rich side of the In-Ga phase diagram is thermodynamically infeasible. A solidus consistent with the liquidus and microcalorimetric heat of soln. measurements was constructed by utilizing a linear programming computer technique. The thermodynamic interaction parameter was detd. as a function of temp. and compn. for the liq. and In-rich solid solns. The liq. and solid solns. are not far from regular. The In-rich solvus curve was also computed.

C.A. 1972:78-16

Инж Гарх Р

1972

1 E585. Термодинамический расчет реакций, протекающих при росте кристаллов $In_xGa_{1-x}P$ из газовой фазы. Seki Hisashi, M^onagawa Shigekazu. Equilibrium computation for the vapor growth of $In_xGa_{1-x}P$ crystals. «Jap. J. Appl. Phys.», 1972, 11, № 6, 850—854 (англ.)

Анализ равновесий реакций, протекающих при получении кристаллов $In_xGa_{1-x}P$ из газовой фазы, позволил получить зависимости парциальных давлений $InCl$, $GaCl$, HCl , P_4 , P_2 и других в газовой фазе от температуры, отношения Cu/H и других параметров. Определена зависимость равновесного состава кристаллов $In_xGa_{1-x}P$ от состава газовой фазы.

Б. Могутинов

(+5) заб. РГ

Фрнк - 73-1

1

УнСл. вальз

1972

13 Б816. Диаграмма состояния InCl—GaCl₃. Васильевская И. И., Васильева А. Г., Кулакова Г. З., Нисельсон Л. А. «Науч. тр. Н.-и. и проект. ин-т редкомет. пром-сти», 1972, 38, 72—77

В системе, изученной визуально-полимермич. методом, InCl—GaCl₃ обнаружены следующие соединения: InCl·GaCl₃ — плавящееся конгруэнтио при 263°; InCl·2GaCl₃ — плавящееся с разл. при 83° и 2 InCl·GaCl₃ — плавящееся инконгруэнтио при 198°. Установлено существование двух эвтектик с 11,5 и 77,5% (мол.) InCl с т. пл. соотв. 73 и 182°. Отмечено образование тв. р-ров в интервале 2,5% (мол.) InCl. Предполагается существование области расслаивания в интервале 86—96% InCl.

Автореферат

(Tm)

Х. 1973 № 13

In_{1-x}Ga_xP

1973

10 А605. Масс-спектрометрическое и термодинамическое изучение роста кристаллов In_{1-x}Ga_xP из паровой фазы. Bans Vlasimir S., Ettenberg Michael. Mass spectrometric and thermodynamic studies of vapor-phase growth of In_{1-x}Ga_xP. «J. Phys. and Chem. Solids», 1973, 34, № 6, 1119—1129 (англ.)

Обсуждаются основные аспекты синтеза In_{1-x}Ga_xP из паровой фазы в открытой трубке, которая соединялась с масс-спектрометром. Установка позволяла менять состав паровой фазы, т-ру, скорость потока газа и парциальное давление. Масс-спектрометрич. определение взаимодействия HCl—In в температурном интервале 500—900°С показало, что в паровой фазе присутствует единственный монохлорид InCl. В паровой фазе обнаружено присутствие InCl, GaCl, HCl, PH₃, P₂, P₄, H₂.

М. Г. Либшиц

φ. 1973. № 10

1973

In_xGa_{1-x}As - I

grayish
green.

127393h Heterogeneous equilibrium in the system indium gallium arsenide ($\text{In}_x\text{Ga}_{1-x}\text{As}$)-iodine. Dmitrieva, N. E.; Voronin, V. A.; Zaidovskii, E. G.; Khlystovskaya, M. D. (USSR). *Nauchn. Tr., Nauchno-Issled. Proektn. Inst. Redkomet. Promsti.* 1973, No. 46, 115-20 (Russ). From Ref. Zh., Met. 1973, Abstr. No. 6G429. Title only translated.

C.A. 1974. 81

N20

$In_xGa_{1-x}As - I$

1973

108586r Experimental determination of the equilibrium of $In_xGa_{1-x}As$ growth by iodine transport. Seidovskii, E. (Polytech. Inst. Lvov, Lvov, USSR). *Krist. Tech.* 1973, 8(6), 649-57 (Ger). A thermodn. approach used for the vapor-phase prepn. of semiconductors was applied to the study of the heterogeneous equil. of the $In_xGa_{1-x}As-I$ system. At 900-1200°K and $x = 0; 0.2; 0.4; 0.6; 0.8; 1.0$, the partial pressures of the vapor components and the transport-reaction equil. consts. were calcd.

E. Gansel

C.A. 1973 79 n18

1973

17 Б658. Измерение энталпий смешения в системе Ga — In — Sn методом количественного дифференциального-термического анализа. Скоропанов А. С., Мечковский Л. А., Захаров Д. М., Вечер А. А. «Ж. физ. химии», 1973, 47, № 3, 749—750

Методом колич. ДТА определены энталпии смешения в тройной системе Ga — In — Sn в граничных бинарных системах Ga — Sn и In — Sn. Макс. величина энталпии смешения для системы Ga — Sn равна 214 ± 6 , а для системы In — Sn 72 ± 2 кал/г-ат. Эксперим. данные, полученные для семи разрезов с постоянными отношениями галлия к индию, представлены в виде изоэнталпийных линий.

Автореферат

Документ

Х. 1973 № 17

1973

Gax Iny

spayob.
guarp.

141563v Phase diagram for the gallium-indium system
Zakarov, D. M.; Kiknadze, G. I.; Mel'nikova, L. V. (USSR).
Obshch. Zakhonomern. Str. Diagramm Sost. Met. Sist. 1973,
85-8 (Russ). From Ref. Zh., Met. 1973, Abstr. No. 8127.
The phase diagram of the Ga-In system was studied thermodn.,
x-ray. structurally, and conductometrically and by contact
melting. The eutectic temp. of the system is $15.8 \pm 0.1^\circ$ at $20.5 \pm 0.5\%$ In. For the thermodn. description of the system, an
approxn. of regular solns. was used. In the framework of this
approxn. the Ga- and In-branches of the liquidus and the
solidus lines were calcd. which are characteristic of the solv. of
Ga in solid In. The calcd. data agree with the exptl. data. The
enthalpy and entropy of the mixt. of liq. In-Ga alloys, resulting
from the theory of regular solns. were compared with previously
reported exptl. data.

C. A. 1979. 81W22

GaInCl₆

1974.

† 1974 Formation and stability of mixed dimeric molecules. Buraya, I. T.; Polyachenok, O. G.; Novikov, G. I. (Inst. Tekhnol. im. Kirova, Minsk, USSR). *Zh. Fiz.*, 1974, 48(6), 1609-10 (Russ). Addnl. data considered in writing and indexing are available from a source cited in the original document. To establish the formation of mixed dimeric molecules of GaInCl₆ in the vapor phase of the GaCl₃-InCl₃ system, compn. of the satd. vapor, the equil. const., and the thermodyn. quantities ΔS and ΔH of the reaction GaInCl₆ ⇌ 1/2(Ga₂Cl₆) + 1/2(In₂Cl₆) were detd. The std. ΔH_f and S_f values for GaInCl₆ were also established. Very small values of ΔS and ΔH , which may be considered as a measure of the "complex" character of the mixed dimers, resulted for the reaction GaInCl₆ ⇌ 1/2(Ga₂Cl₆) + 1/2(In₂Cl₆). A. Giacalone.

ΔH_f , ΔS_f

C.A. 1974, 81 n26

1974

Со. Зир Ср

15 Б1119 Деп. Образование и устойчивость смешанных димерных молекул GaInCl_6 . Бурая И. Т., Поляченок О. Г., Новиков Г. И. (Редколлегия «Ж. физ. химии» АН СССР). М., 1974. II с., ил., библиогр. 9 назв. (Рукопись деп. в ВИНИТИ 5 марта 1974 г., № 509—74 Деп.)

K_p; ΔH_f

На основании тензиметрич. исследований с применением кварцевого мембранныго нуль-манометра, сделан вывод об образовании смешанных димерных молекул GaInCl_6 в парофазной системе $\text{GaCl}_3 - \text{InCl}_3$. Рассчитан состав неиасыщ. пары и определена константа равновесия р-ции: $(\text{GaInCl}_6) \rightleftharpoons (\text{GaCl}_3) + (\text{InCl}_3)$ $\lg K_p \text{ мм} = 16,25 \pm 0,28 - (6130 + 232/T) - 2,013 \lg T$. Определены стандартные термодинамич. характеристики смешанных димерных молекул GaInCl_6 : $\Delta H_{f298}^{\circ} \text{GaInCl}_6 = -220,9 \pm 4,1 \text{ ккал/моль}$; $\Delta S_{f298}^{\circ} \text{GaInCl}_6 = 125,1 \pm 2,8 \text{ э. е.}$ Показана возможность значит. влияния смешанных димерных молекул на св-ва систем типа $\text{MCl}_3 - \text{M}'\text{Cl}_3$ ($\text{M}, \text{M}' = \text{Al}, \text{Ga}, \text{In}, \text{Fe}$).

Автореферат

Х. 1974VI.5

Gax Tny Snz

1974

(T_m)

Danilin V. N.

Savvalin T. T.

Zh. Fiz. Khim. 1974, 48(5),
1325 (Russ).

(all Ga Sr_x; I)

1974

$Ga_xIn_{1-x}Sb$ (T_{Debye})

88106z Adiabatic elastic constants and Debye temperature at 0°K of gallium indium antimonide ($Ga_xIn_{1-x}Sb$) solid solution. Galibert, G.; Bougnat, G. (Cent. Etud. Electron. Solides, Univ. Sci. Tech. Lanquedoc, Montpellier, Fr.). *Mater. Res. Bull.* 1974, 9(2), 167-77 (Fr). The adiabatic elastic consts. of $Ga_xIn_{1-x}Sb$ were detd. at 4-300°K by the pulse-echo techniques at const. frequency (7.50 MHz). The carrier concns. of the samples were 10^{16} - 10^{17} cm $^{-3}$. The Debye temps. were computed from extrapolations of the elastic consts. to 0°K. The force consts. between a particle and its nearest and next nearest neighbors were obtained.

C.A.1974.80.116

1974

$\text{Ga}_x\text{In}_{1-x}\text{Sb}$

141546s Phase diagram and liquid phase epitaxial growth of gallium-indium-antimony ($\text{Ga}_x\text{In}_{1-x}\text{Sb}$). Joullie, A.; Dédies, R.; Chevrier, J.; Bougnat, G. (Cent. Etud. Electron. Solides, Univ. Sci. Tech. Languedoc, Montpellier, Fr.). *Rev. Phys. Appl.* 1974, 9(2), 455-63 (Fr). An accurate ternary phase diagram in the In-rich region of the Ga-In-Sb system was established. The liquidus data were obtained from DTA measurements on samples of predtd. compn. The solidus data were found by measuring the Ga [7440-55-3] concn. of crystals grown from In-rich solns. by liquid phase epitaxy. Liquidus isotherms and solidus lines were calcd. using a regular soln. model. By fitting some thermodn. parameters, good agreement with exptl. points was obtained. $\text{Ga}_x\text{In}_{1-x}\text{Sb}$ epitaxial layers with $0 \leq x \leq 0.92$ were grown on [111] InSb [1312-41-0] substrates at 300-400°. Homogeneity and other layer characteristics were examd. Some elec. measurements were reported. A. J. Miller

page 8
group

C.A. 1974.81w22

GaInTe₂

1974

Ga₂InTe₃

48189p Gallium telluride-indium telluride system. Kuliev,
A. A.; Kagramanyan, Z. G.; Suleimanov, D. M.; Prud'ko, V. V.
(Azerb. Gos. Univ. im. Kirova, Boku, USSR). *Izv. Akad. Nauk
SSSR, Neorg. Mater.* 1974, 10(10), 1895-6 (Russ). The
fusibility diagram of the GaTe-InTe system was studied by
DTA, microhardness, and x-ray anal. of alloys of the GaTe-InTe
system with compns. ranging from 5 to 95, at every 5 mole%
GaTe. Special attention was given to the compns. GaInTe₂ and
Ga₂InTe₃, by analogy with the GaSe-InSe system. S. A. Mersol

ppayob-
guarap.

C. A. 1975
82 n 8

Ga-In-As(AlP) XV-3396 1975

Ansara J., Brus J., Cambino M.

Etude thermodynamique du système
ternaire gallium-indium-antimoine
Conf. Int. Thermodyn. Chim.(C.R.),
48h, 1975, 3, 29-36

F. M.

1975

InGa
(InGa)

$(\Delta H_{tr}, T_m)$

85: 167352h Study of the phase diagram of the gallium-indium system by quantitative thermography. Shurai, P. E.; Danilin, V. N.; Sryvalin, I. T.; Muratidi, A. G. (Krasnodar Politekh. Inst., Krasnodar, USSR). *Fiz.-Khim. Issled. Metall. Protsessov* 1975, 3, 60-2 (Russ). The phase diagram of the Ga-In system contg. 68-100 wt.% Ga was studied by DTA. Due to the tendency of Ga-In alloys towards large undercooling, the phase diagram was constructed from heating curves. The eutectic compn. was detd. graphically by construction of the Tammann triangle. The heat of phase transformation was detd. from differential curves recorded without and with different currents flowing through a small elec. heater placed inside the sample. The metastable region of the Ga-In system was established for the first time at cooling rates of 0.3-1°/min. The compn. and melting point of the eutectic alloy are 21.45 wt.% (14.2 at.%) In and 288.9°K, resp. The heats of phase transformation of the eutectic alloy and an alloy contg. 20.5 wt.% In are 16.6 ± 0.4 and 16.4 ± 0.4 cal/g resp. These values agree well with those calcd. from the additive formula.

P. K. Rao

C.A. 1976 85 No. 2

Ga_xIn_y

1975

(T_m)

209884z Eutectic point of the gallium-indium system.
Zakharov, D. M. (USSR). *Zh. Fiz. Khim.* 1975, 49(9), 220S-10
(Russ). Thermodyn. anal. shows that the Ga-In eutectic occurs
at m. $288.4 \pm 0.1^\circ\text{K}$ at 13.8 ± 0.4 at.% In. The calcd. eutectic
compr. is in good agreement with the exptl. value obtained by
chem. anal. of eutectic formed by contact melting of Ga and In
at 288°K .

C.A. 1975. 83N26

Бахтиев
6 Е766. Термодинамическое исследование тройной системы галлий—индий—сурьма. Ansaga I., Gambino M., Bros J. P. Etude thermodynamique du système ternaire gallium—indium—antimoine: «J. Cryst. Growth», 1976, 32, № 1, 101—110 (франц.; рез. англ.).

1976

(ΔH_m) Методом высокотемпературной калориметрии изучены энталпия (ΔH_m) и энтропия (ΔS_m) смешения в системе Ga—In—Sb. Калибровка прибора проводилась по Ag, Au и Pt; т-ра контролировалась платино-платинородиевой термопарой с точностью 6%. В системе Ga—In $\Delta H_m = x_{In}x_{Ga} \cdot 1060$ кал·моль⁻¹, $\Delta S_m = x_{In} \cdot x_{Ga} \cdot 0,25$ кал·моль⁻¹ K⁻¹. В системах Ga—Sb и In—Sb также определены ΔH_m и ΔS_m . ΔH_m в системе Ga_xIn_ySb_{1-x-y} измерена для $x_{Ga}/x_{In} = 3/1, 1/1, 1/2, 1/3$ для $0,08 < x_{In} < 0,7$. Полученные эксперим. данные удовлетворительно совпадают с рассчитанными на основе двойных систем. Рассчитана диаграмма состояний для сечения GaSb—InSb. Кривая ликвидус система Ga—In—Sb вычислена для двух состояний равновесий: жидкая фаза/Sb и жидкая фаза/твердый раствор Ga_nGa_{1-n}In_{0,5-n}Ga_nSb_{0,5}. Получено хорошее соответствие с эксперим. данными других авторов.

Н. В.

φ1976 № 6

$Ga_x In_{(1-x)} P$

1976

j 85: 149701s Phase diagram of gallium indium phosphide
 $(Ga_xIn_{1-x}P)$ solid solution. Bodnar, I. V.; Matyas, E. E.;
Makovetskaya, L. A. (Inst. Phys. Solids Semicond., Minsk,
USSR). *Phys. Status Solidi A* 1976, 36(2), K141-K144 (Eng).
The $Ga_xIn_{1-x}P$ system was studied by DTA, microstructural, and
x-ray phase anal. to det. optimum conditions for single crystal
growth. A miscibility gap occurs at 482° . Component activities
and heats of mixing are given as a function of compn. for liq.
and solid phases.

qazob.
quarfp.

C.A. 1976. 85 N20

In - Ga - P

1977

87: 190056q Heterophase equilibria in the indium-galium-phosphorus system. Batov, I. P.; Il'in, Yu. L. (Leningr. Elektrotekh. Inst., Leningrad, USSR). *Zh. Fiz. Khim.*, 1977, 51(8), 2139 (Russ). The phase diagram of the In-Ga-P system was constructed using a quasiregular approach. Calcd. liquidus isotherms and isoconcn. solidus lines were completed with exptl. data. Along these isotherms, the vapor pressure of P in the ternary system was detd. S. Wicar

spayos.
graph.

C.A. 1977, 87, 1924

In-Ga-P

1977

(gas-gaas and gas-AsP.)

87: 207353j Analysis of the nature of the interaction of components in an indium-gallium-phosphorus ternary system. Batyrev, N. I.; Selin, A. A.; Shumilin, V. P. (Mosk. Inst. Elektron. Tekh., Moscow, USSR). *Izv. Akad. Nauk SSSR, Neorg. Mater.* 1977, 13(10), 1733-5 (Russ). The In-Ga-P phase diagram was examd. in the Ga-InP-In and In-GaP-Ga regions by local x-ray anal. of epitaxial layers. P interacts more strongly with Ga than with In. The solid phase crystg. in this region is almost entirely GaP. Epitaxial layers $\text{In}_{1-x}\text{Ga}_x\text{P}$ ($x = 0.66-0.74$) were grown from melts of the In-InP-GaF

C.A. 1977, 87, 1126

InP-GaP (Tl. p-p)

1977

(P)

87: 44864k Study of the saturated vapor pressure of phosphorus over indium phosphide-gallium phosphide solid solutions. Batyrev, N. I.; Krestovnikov, A. N.; Ufimtsev, V. B.; Shumilin, V. P. (Mosk. Inst. Elektron. Tekh., Moscow, USSR). *Zh. Fiz. Khim.* 1977, 51(5), 1052-5 (Russ). The P vapor pressure over InP-GaP solid solns. was detd. by a Knudsen effusion method at 879-1223 K and 0-100 mol % GaP. Heterogeneous equil. between solid and vapor phase is discussed.

C.I. 1977. 87iv-6

Sa In Cl₆

1947

Газета У.И.

(H₄, P) Автомобилист с.х.и., 1947,
Минск

GaAs - InAs

1977

GaAs-AlAs

пазебо
хабиб

86: 178207m Study of phase equilibrium in gallium arsenide-indium arsenide and gallium arsenide-aluminum arsenide systems. Mirtskhulava, A. A.; Sakvarelidze, L. G. (Tbilis. Gos. Univ., Tbilisi, USSR). *Zh. Fiz. Khim.* 1977, 51(2), 513-16 (Russ). A method and an app. are described for study of phase equil. in binary systems with a highly volatile component. The method permits detg. the liquidus and solidus points and the corresponding equil. pressures of the volatile component in 1 expt. The vapor pressure is detd. above the sample in both solid and liq. state while keeping the chem. compn. of the sample const. during the pressure detn. The method assumes that the coordination no. of the atoms is different for the liq. and solid states. Semiconductor materials show higher coordination nos. for the liq. than for the solid state. The liquidus and solidus lines were detd. in pressure-temp. concn. coordinates for the systems GaAs-InAs and GaAs-AlAs. The diffusion rate of the volatile component in liq. and vapor and the activation energy of absorption of the volatile component can also be detd. M: Kyrs

c. a. 1977. 86 1/24

+1

5

Ga-In-As-Sb

1977

SS: 28426j The pseudoquaternary phase diagram of the gallium-indium-arsenic-antimony system. Nakajima, Kazuo; Osamura, Kozo; Yasuda, Ken; Murakami, Yotaro (Fac. Eng., Kyoto Univ., Kyoto, Japan). *J. Cryst. Growth* 1977, 41(1), S7-92 (Eng). The pseudoquaternary phase diagram of the Ga-In-As-Sb quaternary system was detd. exptl. The liqs. data were obtained by DTA, and the solidus data were detd. by the liq. phase epitaxial method. This phase diagram and the study of compn. variations in the epitaxial layers indicate that the Ga-In-As-Sb quaternary system can form the lattice-matched $\text{Ga}_x\text{In}_{1-x}\text{As}_{1-y}\text{Sb}_y$ solid. solns. on the GaSb and/or InAs binary compds. in the compn. range $0 \leq x \leq 0.3$ and $0.6 \leq x \leq 1.0$.

Ga-In-As-Sb

C.A., 1978, 88, N4

1978

Al-Ga-In

90: 62104d Thermodynamic analysis of the gallium-indium, aluminum-gallium, aluminum-indium and the aluminum-gallium-indium systems. Ansara, I.; Bros, J. P.; Girard, C. (Lab. Thermodyn. Phys.-Chim. Metall., Ec. Natl. Super. Electrotech. Electron., Saint Martin d'Heres, Fr.). CALPHAD: Comput. Coupling Phase Diagrams Thermochem. 1978, 2(3), 187-96 (Eng). The heats of mixing in the Al-Ga-In system were measured for different atom-fraction ratios $x_{\text{Ga}}/x_{\text{In}}$ at 693-1182 K. No appreciable temp. dependence was obsd. The partial Gibbs energies of Al, for the compn. ratios $x_{\text{Ga}}/x_{\text{In}} = 1/3$, 1/1, 3/1, and 9/1, were derived from the emf. measurements. No phase changes relative to the liq.-state miscibility gap were

obsd. Phase diagram data were derived from the thermodyn. data, at 453-1080 K.

C.A. 1979, 99(18)

In - Ga - As

1978

91: 28099s Heterophase equilibrium in the indium-gallium-arsenic system. Batov, I.; Markov, M.; Trifonova, E. (Fac. Phys., Sofia Univ., 1126 Sofia, Bulg.). *Bulg. J. Phys.* 1978, 5(6), 602-7 (Eng). A phase diagram calcn. of the In-Ga-As system was carried out and its results are compared with the known exptl. data. The temp. and concn. dependences of the Ga distribution coeff. are examd.

page 6
March .

C.A. 1979, 91, NY

1948

Ga-In-Sb

90: 77202h The gallium-indium-antimony ternary phase diagram at low growth temperature. Miki, Hidejiro; Segawa, Kazuaki; Otsubo, Mutsuyuki; Shirahata, Kiyoshi; Fujibayashi, Keiji (Mitsubishi Electr. Corp., Hyogo, Japan). *Jpn. J. Appl. Phys.* 1978, 17(12), 2079-84 (Eng). The ternary phase diagram of the Ga-In-Sb system was investigated. The solidus isotherm at 400° and liquidus isotherms at 400, 500, and 600° were detd. exptl. The phase diagram of Ga-In-Sb system was calcd. on the basis of various thermodyn. parameters. The calen. with the modified Delta Lattice Parameter (DLP) model best fits the exptl. solidus isotherm at 400°.

page 8
group 1

C.A.1949,90,110

Ba-In-Sn (cont'd)

1978

90: 110918w Study of enthalpy of heat capacity of gallium-indium-tin eutectic alloy. Roschupkin, V. V.; Migai, L. L.; Fordeeva, L. K.; Perlov, N. I. (USSR). Nauch. Tr. Nauk. i Proekt. In-ta Redkomet. Prom-sti. 1973, (84), 4-1. (Ref. Zbl., Metall. 1978, No. 12A33.)
Title only translated.

SH, G.

CA. 879,90, N14

1979

GaSb-InSb

92: 11970s Thermodynamic study of the gallium antimonide-indium antimonide, aluminum antimonide-gallium antimonide, and aluminum antimonide-indium antimonide systems. Gerdes, Frerich; Predel, Bruno (Inst. Werkstoffwiss., Max-Planck-Inst. Metallforsch., Stuttgart, Fed. Rep. Ger.). *J. Less-Common Met.* 1979, 64(2), 285-94 (Ger). The mixing enthalpies of liq. GaSb-InSb, AlSb-GaSb, and AlSb-InSb quasi-binary systems were detd. with the aid of a high temp. calorimeter.

AlSb-GaSb

AlSb-InSb

 (ΔH_{mix}) +2 

C.A. 1980. GLN/2

1979

[$\text{Ga}_x\text{In}_{1-x}\text{P}_y$]

45,-y]

(A Finch)

92: 50894q Thermodynamical study of the gallium-indium-arsenic-phosphorus-hydrogen chloride-hydrogen heterogeneous system. Pelosi, C.; Franchi, S.; Attolini, G. (CNR, Parma, Italy). *Mater. Chem.* 1979, 4(3), 323-33 (Eng). Equil. of the $\text{Ga}_x\text{In}_{1-x}\text{P}_y\text{As}_{1-y}-\text{HCl}-\text{H}_2$ heterogeneous system under vapor-phase-epitaxial (open-flow chem.,-vapor-deposition) pressure and temp. conditions are reported. The therinodn. of $\text{Ga}_x\text{In}_{1-x}\text{P}_y\text{As}_{1-y}$, i.e. the Gibbs free energy of mixing and the correlated functions, were obtained by using the model of G. B. Stringfellow (1974). Conditions for growing this material with several compns. are given, and the effect of input partial pressure is discussed. As compared with $\text{Ga}_x\text{In}_{1-x}\text{P}(\text{As})$, more precise control of the compn. in the quaternary layer can be obtained, at the expense of input-gas simplicity, if kinetics do not play a major role in the growth process.

C.A.1980.92 N6

1980

InSb-GaSb

InAs-GaAs

SnTe-PbTe

Ag₂Te-Cu₂Te

93: 226624p Evaluation of excess entropy of mixing of melts of semiconductor systems. Furmanov, G. P. (Inst. Elektron. Tekh., Moscow, USSR). Izv. Akad. Nauk SSSR, Neorg. Mater. 1980, 16(10), 1870-1 (Russ). A method is

proposed for the evaluation of the character of interaction in semiconductor melt system, which is based on e.g. the excess entropy of mixing values from known viscosity and d. data. The results are given for the systems InSb-GaSb (715-1000°), (I), InAs-GaAs (1245-1300°), SnTe-PbTe (935-1250°), (II), and Ag₂Te-Cu₂Te (1150°). The peaks in the entropy values of the system I and II are probably due to formation of complexes.

(ΔS_{mix}) (t2) □

P.A.16:52:95, 184

$\text{Ga}_2\text{Se}_3 - \text{In}_2\text{Se}_3$

1980

spafford
guarpanus

95: 13585f Phase diagram of the solid state system gallium(III) selenide-indium selenide. Schiraldi, Alberto; Mitra, Ved; Pezzati, Elisabetta (Univ. Pavia, CNR, Pavia, Italy). *Z. Phys. Chem. (Wiesbaden)* 1980, 123(2), 193-8 (Eng). The phase diagram of the pseudobinary $\text{Ga}_2\text{Se}_3-\text{In}_2\text{Se}_3$ system was studied at $\leq 500^\circ$ by measuring the variation of a.c. cond. accompanying the phase transitions. The known phase transitions of In_2Se_3 are confirmed and 2 new high-temp. modifications of Ga_2Se_3 are reported. Several more or less extended solid soln. fields were obsd. throughout the temp. range studied.

C. A. 1981, 95, N2.

($\text{Ga}_x\text{In}_{1-x}$)₂ Se_3

1980

13. Б56р. «Фазы, параметры решетки термическое расширение $(\text{Ga}_x\text{In}_{1-x})_2\text{Se}_3$ с $1 > x > 0$ в интервале температур между комнатной и температурой плавления. Топејс А., Роповић С., Гржета — Пленковић В. Phases, lattice parameters and thermal expansion of $(\text{Ga}_x\text{In}_{1-x})_2\text{Se}_3$, $1 > x > 0$, between room temperature and melting point. «J. Appl. Crystallogr.», 1980, 13, № 1, 24—30. (англ.)

В системе $(\text{Ga}_x\text{In}_{1-x})_2\text{Se}_3$ при комн. т-ре известны 4 фазы: при $1 > x > 0,88$ устойчивая фаза (I) со структурой цинковой обманки; в области $0,88 > x > 0,75$ существуют фазы I и тетрагон. γ_2 устойчивая вплоть до значения $x = 0,60$; в области $0,55 > x > 0,02$ устойчива фаза γ_1 изоструктурная высокотройной модификации $\gamma\text{-In}_2\text{Se}_3$; в узкой области составов между $x = 0,60$ и $\approx 0,55$ фазы γ_2 и γ_1 существуют; в области $0,02 > x > \approx 0,005$ существуют 2 фазы — γ_1 и α , изоструктурная устойчивой при комн. т-ре модификации $\alpha\text{-In}_2\text{Se}_3$; фаза α в чистом виде проявляется лишь при $x < 0,005$. Методами ДТА и порошковой рентгенографии прослежен характер термич. расширения этих фаз вплоть до их т. пл. Синтез фаз осуществлен нагреванием при т-ре 1343 К смеси простых селенидов Ga_2Se_3 и $\alpha\text{-In}_2\text{Se}_3$, полученных в свою очередь прямым синтезом из элементов при т-рах 1298 К и 1188 К, соотв. Для I ($x = 1,0$) определен параметр кубич. решетки $a = 5,428$ Å и коэффиц. линейного расширения $\alpha = 10,2 \cdot 10^{-6}$. Не подтверждён ранее описанный полиморфный переход I при нагревании (Горюнова, Советское радио, Москва, 1968) и выявлена устойчивость I

смеси
извест.
расшир

Х 1980 №.

вплоть до т. пл. 1293 К. Для γ_2 ($x=0,60$) определены параметры гексагон. решеток и коэф. линейного термич. расширения: $a = 6,844$, $c = 19,324$ А, $\alpha_a = 13,8 \times 10^{-6}$, $\alpha_c = 7,8 \cdot 10^{-6}$; при т. ре 1093 К фаза γ_2 претерпевает фазовое превращение с образованием поддающейся закалке высокот-рной фазы, характеризующейся также как и I структурой типа цинковой обмагнитки и параметром кубич. решетки $a = 5,5478$ А, $\alpha_a = 11,1 \times 10^{-6}$. Фаза γ_1 изучена на примере 2 образцов с $x = 0,40$ и $0,25$. Для этих образцов найдены идентичные структуры, характеризующиеся параметрами гексагон. решеток и коэф. линейного расширения: $x = 0,40$, $a = 6,980$, $c = 18,96$ А, $\alpha_a = 4,7 \times 10^{-6}$, $\alpha_c = 38 \cdot 10^{-6}$; $x = 0,25$, $a = 7,043$, $c = 19,130$ А, $\alpha_a = 5,3 \times 10^{-6}$, $\alpha_c = 32 \cdot 10^{-6}$. Для состава In_2Se_3 ($x = 0$) обнаружены четыре полиморфные модификации и определены т-ры фазовых переходов $\alpha \rightarrow \beta$ 473 К, $\beta \rightarrow \gamma$ 793 К, $\gamma \rightarrow \delta$ 1003 К, δ плавится при 1153 К. Для изоструктурной γ_1 модификации $\gamma - In_2Se_3$ определены параметры гексагон. решетки и коэф. линейного расширения: $a = 7,130$, $c = 19,430$ А, $\alpha_a = 5 \cdot 10^{-6}$, $\alpha_c = 16 \cdot 10^{-6}$. Полученные результаты свидетельствуют о том, что в области составов с малым содержанием In решетки изученных фаз расширяются практически изотропно. С уменьшением x проявляется существенная анизотропия теплового расширения. Так для составов с $x > 0,40$ (фаза γ_1) α_c примерно в 8 раз больше α_a . Резко анизотропный характер расширения фазы γ_1 позволяет предположить для этой фазы слоистую структуру со слоями, перпендикулярными оси c и связанными между собой слабыми связями. На основе полученных данных построена фазовая диаграмма изученной системы. Приведены значения I , $d(hkl)$ рентгеноограмм порошка фаз γ_2 и γ_1 ($x = 0,40$ и $0,25$). С. В. Соболева

In-fa

1981

96: 92569a Study of phase transformations near the liquidus
line in the indium-gallium system. Kaplun, A. B.; Sherubnev,
A. I. (USSR). *Teplomassoobmen pri Kristalliz. i Kondensatsii*
Met., Novosibirsk 1981, 76-83 (Russ). From Ref. Zh., Metall.
1981, Abstr. No. 12I39. Title only translated.

payoff

prepallot.

BNMJC

metall

mekbifya

C.A. 1982, 96, 112

$Ga_x In_{1-x} P$

1982

3 E382. Теплосопротивление твердого раствора
 $Ga_x In_{1-x} As_y P_{1-y}$. Thermal resistivity of quaternary solid
solution $Ca_x In_{1-x} As_y P_{1-y}$ lattice-matched to InP and
GaAs. Both Wolfgang Hergmann Frank Peter. «Cryst. Res. and Technol.», 1982, 17, № 11, K117–
K122 (англ.)

Динамическим методом при комнатной т-ре измерено
теплосопротивление $W(x)$ системы твердых растворов
 $Ga_x In_{1-x} P$. Вместе с имеющимися литературными дан-
ными это дает сведения о теплосопротивлении всех
тройных систем между соединениями InP, GaAs, InAs
и GaP, что позволяет построить интерполяционную ф-лу
 $W(x, y) = 1,23 + 22,8 x + 35,4 y + 33,4 xy - 23 x^2 - 33,2 y^2 -$
 $- 44,6 yx^2 + 9,9 xy^2$ для четвертой системы $Ga_x In_{1-x} As_y P_{1-y}$. С использованием правила Вегарда можно полу-
чить ур-ние $y = 2,20 x / (1 + 0,06554 x)$ для раствора с та-
кой же постоянной решетки, как у InP и $y = (2,202 x -$
 $- 1,136) / (1 + 0,06554 x)$ с постоянной решетки, как у
GaAs. Для этих решеток вычислены сопротивления.

В. Оскотский

Методом
микромехан

го. 1983, 18,
№ 3

Ga-Ge-In

1982

10 Б879. Система галлий—германий—индий: избыточные функции образования жидких сплавов и поверхность ликвидуса фазовой диаграммы. Gallium—germanium—indium system: excess functions of formation of liquid alloys and liquidus surface of phase diagram. de Franceschi J., Fornaris M., Gambino M., Bros J. P. «Can. Met. Quart.», 1982, 21, № 3, 273—279 (англ.; рез. фр.)

Энталпии образования сплавов ΔH в системе Ga—Ge—In (I) определены в интервале 703—1230 К с использованием высокоточного калориметра Кальве. Метод определения ΔH заключался во введении 2-го компонента в расплав в рабочей ячейке калориметра. Значения ΔH табулированы для I при 703 К для $X(\text{Ga})/X(\text{In}) = 1/1$ при $X(\text{Ge}) = 0—0,0910$ (266—149 кал/моль) для $X(\text{Ga})/X(\text{In}) = 3/1$ при $X(\text{Ge}) = 0—0,1051$ (от 190 до —200 кал/моль), для $X(\text{Ga})/X(\text{In})$ при 1000 К при $X(\text{Ge}) = 0$ (0—0,507 (от 266 до —320 кал/моль), при $X(\text{Ga})/X(\text{In}) = 1/3$ при 1230 К

ΔH_f

дс. 1983, 19, N 10

для $X(\text{Ge}) = 0 - 0,62$ (206—50 кал), при $X(\text{Ga})/X(\text{In}) = 1/1$ и $X(\text{Ge}) = 0 - 0,700$ (от 268 до —28 кал/моль и при $X(\text{Ge}) = 0 - 0,765$ для $X(\text{Ga})/X(\text{In}) = 3/1$ (от 190 до —50 кал/моль). Интегральные и парц. избыт. функции смешения в тройной системе вычислены по ур-ниям Келлера, хорошо описывающим опытные данные. Построены изотермич. разрезы Пв ликвидуса при 700—1230 К для составов $X(\text{Ga})/X(\text{In}) = 3/1$, $1/1$ и $1/3$. Полное термодинамич. описание системы I является теор. основой для получения сплавов для электронных контактов в полупроводниковых устройствах на основе Ge.

Л. А. Резницкий

AlGaInP

1982

7 E592. Термодинамический анализ роста из пара AlGaInP. Thermodynamical analysis of AlGaInP vapor growth. Koukitu Akinori, Seki Hisashi. «Jap. J. Appl. Phys.», 1982, Pt 1, 21, № 12, 1675—1679 (англ.)

Развит метод термодинамич. расчета для анализа равновесного состояния многокомпонентной системы. Метод применен к системе Al—Ga—In—P—Cl—H. Найдены основные соотношения для равновесного парциального давления, которые оказались достаточно простыми для применения к тройным и четверным сплавам, содержащим In. Рассчитана диаграмма осаждения сплава $Al_xGa_yIn_{1-x-y}$ в зависимости от мольных отношений компонент. Отмечается, что при высокой т-ре осаждается Al, а при низкой т-ре предпочтительно осаждаются In и Ga. Представлена возможность получения сплава $Al_xGa_yIn_{1-x-y}$ методом хлоридного парового химич. осаждения при т-ре $\sim 700^\circ C$. К. И. А.

Ki

№ 1983, 18, N17

In-Ga-P

1982

98: 41536w Phase diagram for the indium-gallium-phosphorus ternary system. Morrison, C. B.; Bedair, S. M. (Dep. Electr. Eng., North Carolina State Univ., Raleigh, NC 27650 USA). *J. Appl. Phys.* 1982, 53(12), 9058-62 (Eng). Solidus and liquidus data are presented for the 800° isotherm. The data extend over the region $0.49 < x < 0.90$, and were developed by growing epitaxial layers of $\text{In}_x\text{Ga}_{1-x}\text{P}$ on $\text{In}_x\text{Ga}_{1-y}\text{As}$, InP, and GaAs substrates. The simple soln. model is used to predict solidus and liquidus isotherms which fit the data.

paper
recycled.

C.A. 1983, 98, N6.

1982

$In_{1-x}Ga_xP_{1-y}As_y$

9Б813. Термодинамика четверных твердых растворов элементов III—V групп $A_{1-x}B_xC_{1-y}D_y$. Thermodynamics of type $A_{1-x}B_xC_{1-y}D_y$, III—V quaternary solid solutions. Опаве Кентаго. «J. Phys. and Chem. Solids», 1982, 43, № 11, 1071—1086 (англ.)

Предложена теор. модель для расчета термодинамич. св-в тв. р-ров элементов III—V групп, образующих полупроводниковые соединения. В основе модели лежит квазихим. приближение парного взаимодействия ближайших соседей. Показаны существенные отклонения от статистич. распределения атомов в системах $In_{1-x}Ga_xP_{1-y}As_y$ и $Al_{1-x}Ga_xAs_{1-y}Sb_y$, обусловленные образованием кластеров с высокой энергией связи, в противоположность системе $Al_{1-x}Ga_xP_{1-y}As_y$. Вычислены мольные доли парных связей в этих системах, ΔS (смеш.), коэф. активности и хим. потенциалы бинарных соединений. Развитые положения могут служить теор. основой направленного синтеза полупроводниковых материалов.

Л. А. Резницкий

термодин.

11

Х. 1983, 19, № 9

$\text{Ga}_2\text{Ir}_y\text{S}_9$

1982

Schulte-Kellinghaus
M., et al.

Kemmez,

Espinoza. Z. Naturforsch.,

garnme 1982, B37, N3, 390-391.

(crys. $\text{Al}_2\text{Ir}_y\text{S}_9$; I)

$(\text{GaAs})_x(\text{InAs})_{1-x}$

1982

Мб. Р-М

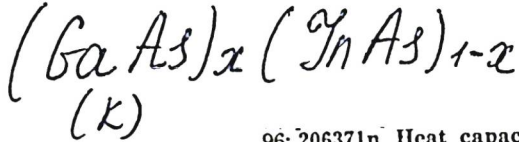
6 Е304. Теплоемкость и термодинамические функции твердых растворов $(\text{GaAs})_x(\text{InAs})_{1-x}$ при температурах 5—300 К. Сирота Н. Н., Новиков В. В., Антиухов А. М. «Докл. АН СССР», 1982, 263, № 1, 96—100

В широком интервале т-р от гелиевых до комнатных (5—300 К) исследована температурная зависимость теплоемкости (T) сплавов системы $(\text{GaAs})_x(\text{InAs})_{1-x}$. Измерения T проводили в адиабатич. калориметре с периодич. вводом тепла. Точность измерения T изменялась от 3% в интервале 5—20 К до 0,6% при 300 К. Численное значение $T c_p$ при каждой т-ре определялось по усредненной сглаженной кривой. T при постоянном объеме $c_v(T)$ определялась из соотношения: $c_p - c_v = A c_p / T$ ($A = 1,86 \cdot 10^{-6}$ для InAs и $A = 2,33 \cdot 10^{-6}$ для GaAs). По кривым T определена также температурная зависимость дебаевской характеристич. т-ры Θ_D . Показано, что T, характеристические термодинамич. ф-ции и Θ_D исследованных сплавов изменяются в зависимости от состава по закону, близкому к аддитивному.

Я. П.

C_p
термоф-ии

φ 1982, 18 №



1982

96: 206371n Heat capacity and thermodynamic functions of gallium arsenide-indium arsenide $(GaAs)_x(InAs)_{1-x}$ solid solutions at 5-300 K. Sirota, N. N.; Novikov, V. V.; Antyukhov, A. M. (Bryansk. Pedagog. Inst., Bryansk, USSR). *Dokl. Akad. Nauk SSSR* 1982, 263(1), 96-100 [Tech. Phys.] (Russ). The heat capacities were detd. exptl. and the thermodn. functions (enthalpy, entropy, free energy) were derived as functions of compn. and temp.

C_p^0 ,

C. A. 1982, 96, N 24.

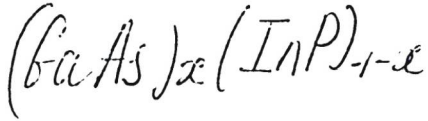
$(GaAs)_x(InP)_{1-x}$ (K)

1982

197: 203930d Temperature dependence of heat capacity and characteristic thermodynamic functions of gallium arsenide and indium phosphide solid solutions at 5-300 K. Sirota, N. N.; Antyukhov, A. M.; Novikov, V. V.; Sidorov, A. A. (Bryansk. Pedagog. Inst., Bryansk, USSR). *Dokl. Akad. Nauk SSSR* 1982, 266(1), 105-8 [Tech. Phys.] (Russ). The heat capacities of $(GaAs)_x(InP)_{1-x}$ solid solns. were detd. exptl. as functions of temp. and compn. ($x = 0-1$). Entropy, enthalpy, and free energy values were derived.

C_p ;

c.a. 1982, 97, N24



1982

$C_p, \Delta H, \Delta S,$
 $\Delta f;$

197: 189082v. Heat capacity, Gibbs' free energy, enthalpy and entropy of gallium arsenide-indium phosphide ($GaAs_x(AlP)_{1-x}$) solid solutions. Sirota, N. N.; Antyukhov, A. M.; Novikov, V. V.; Sidorov, A. A. (Bryansk. Pedagog. Inst., Bryansk, USSR). *Zh. Fiz. Khim.* 1982, 56(9), 2348-50 (Russ). The temp. and compn. dependence of the heat capacities of $(GaAs)_x(AlP)_{1-x}$ were detd. at 5-300 K and enthalpies, entropies and free energies were calcd.

C.A. 1982, 97, N22

$(\text{GaAs})_x (\text{InP})_{1-x}$

1982

12 Е433. Термоемкость, свободная энергия Гиббса, энталпия и энтропия твердых растворов $(\text{GaAs})_x (\text{InP})_{1-x}$. Сирота Н. Н., Антюхов А. М., Носиков В. В., Сидоров А. А. «Ж. физ. химии», 1982, 56, № 9, 2348—2350

Определена температурная зависимость теплоемкости $C_p(T)$ твердых растворов $(\text{GaAs})_x (\text{InP})_{1-x}$ в интервале 5—300 К. По значениям $C_p(T)$ рассчитаны величины энталпии, свободной энергии Гиббса и энтропии исследованных твердых растворов во всем интервале составов. Выявлена область пересечения кривых $C_p(T)$ всех исследованных образцов.

Резюме

φ 1982, 18, № 2.

1982

GaAs-InP

система

C_p , $\Delta f G$
 $\Delta f H$, $\Delta f S$

1975. Теплоемкость, свободная энергия Гиббса, энталпия и энтропия твердых растворов $(\text{GaAs})_x(\text{InP})_{1-x}$. Сирота Н. Н., Антюхов А. М., Новиков В. В., Сидоров А. А. «Ж. физ. химии», 1982, 56, № 9, 2348—2350

По полученным эксперим. значениям теплоемкости $C_p(T)$ тв. р-ров $(\text{GaAs})_x(\text{InP})_{1-x}$ в области т-р 5—300 К рассчитаны значения энталпии, свободной энергии Гиббса и энтропии для составов с $x=1; 0,8; 0,6; 0,4; 0,2; 0$. Отмечается наличие области пересечения кривых $C_p(T)$ всех исследованных образцов, что свидетельствует об изменении характера межатомных связей и фононных спектров тв. р-ров $(\text{GaAs})_x(\text{InP})_{1-x}$ с изменением состава. Наблюдается отклонение величин термодинамич. функций от аддитивных значений, уменьшающееся по абр. величине с понижением температуры.

Автореферат

X, 1983, 19, N1

1982

$(\text{GaAs})_x(\text{InP})_{1-x}$

исследование

$x=0; 0,2;$

$0,4; 0,6; 0,8; 1;$

Gp;

4.2

1 Б774. Температурная зависимость теплоемкости и характеристических термодинамических функций твердых растворов арсенида галлия и фосфида индия в области 5—300 К. Сирота Н. Н., Антюхов А. М., Новиков В. В., Сидоров А. А. «Докл. АН СССР», 1982, 266, № 1, 105—108.

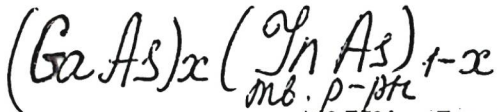
Проведено эксперим. изучение т-рной зависимости теплоемкости четверных полупроводниковых тв. р-ров $\text{Al}_x\text{Ga}_{1-x}\text{As}_y(\text{InP})_{1-y}$ ($x=0; 0,2; 0,4; 0,6; 0,8$ и 1). в области т-р от гелиевых до комнатных (0—300 К). На основании полученных и рассчитанных величин построены кривые т-рной зависимости теплоемкости и характеристич. т-ры Дебая исследованных сплавов. Показано, что характер т-рной зависимости энталпии, энтропии и свободной энергии Гиббса исследованных компонентов GaAs и InP и их тв. р-ров практически аналогичен.

А. М.

X. 1983, 19, N/

ГаAs, InP /термо-
г-ии)

1982



$x = 1; 0.8; 0.6;$
 $0.4; 0.2 \text{ и } 0$

C_p ;

13 Б794. Теплоемкость и термодинамические функции твердых растворов $(CaA)_x(AlAs)_{1-x}$ при температурах 5—300 К. «Докл. АН СССР», 1982, 263, № 1, 96—100

Теплоемкость C_p тв. р-ров $(GaAs)_x(AlAs)_{1-x}$ ($x = 1; 0.8; 0.6; 0.4; 0.2 \text{ и } 0$) определена в адиабатич. калориметре в интервале 5—300 К с точностью $\pm 13\%$. Данные C_p и C_v табулированы. Значения $H_t - H_0$, $-(G_t - G_{298})/T$ и S_t , θ_D представлены графически. θ_D имеет минимум для всех составов в области 10—20 К, что указывает на изменение фононного спектра и ангармонич. составляющих при сохранении общего сходства.

Л. А. Резницкий

Х. 1982, 19, N13.

Ga-In-Si

1982

1. 12 Б696. Энталпии смешения в системе галлий—
индий — кадмий. Вечер А. А., Мечковский Л. А.,
Вечер А. А. «Ж. физ. химии», 1982, 56, № 2, 483—484

sk mix;

X. 1982, 19, N 12.

97, x fax 86

1983

5 Е312. Рассеяние фононов в твердом растворе
In_{1-x}Ga_xSb. Алиев М. И., Зейналов С. А., Ара-
слы Д. Г., Алиев С. А., Рагимов Р. Н. «Докл.
АН АзССР», 1983, 39, № 8, 21—24 (рез. азерб., англ.)

Получены сведения о поведении теплопроводности твердых растворов In_{1-x}Ga_xSb при $x=0, 0,05, 0,53, 0,66$ и 1,0 в интервале т-р 100—700 К. Показано, что вклад электронной составляющей в них не превышает 15%. По ф-ле Клеменса рассчитано решеточное теплопротивление для поперечных акустич. фононов. Указывается, что наряду с 3-фононными процессами в этих в-вах имеют место и вклады от 4-фононных процессов.

В. Е. Зиновьев

сб. 1984, 18, N 5

$\gamma_{In_{1-x}Ga_xP}$

1983

22 Б954 Деп. Исследование химического равновесия в системе $In_{1-x}Ga_xP - HCl$. Голиусов В. А., Прохоров В. А., Воронин В. А., Чучмарев С. К., Смелянский П. С.; Львов. политехн. ин-т. Львов, 1983. 7 с. Библиогр. 11 назв. (Рук. деп. в УкрНИИНТИ 20 июня 1983 г., № 527Ук—Д83)

Проведено тензиметрич. исследование хим. равновесия в системе $In_{1-x}Ga_xP - HCl$. Построена физ.-хим. модель равновесия в исследованной системе, в рамках к-рой определены самосогласованные термодинамич. характеристики и рассчитан равновесный состав газ. фазы в интервалах т-р 800—1100 К, конц-ий HCl 1—4 моль. $\cdot m^{-3}$ и составов тв. растворов 0,1—0,7. Автореферат

X. 1983, 19, N 22

$(\text{GaAs})_x(\text{InAs})_{1-x}$

1983

мб. Р-РН

» 16 Б768. Термодинамические свойства твердых растворов арсенид галлия — арсенид индия в области 5—300 К. Сирота Н. Н., Новиков В. В., Антюхов А. М. «Ж. физ. химии», 1983, 57, № 3, 542—547

В низкот-рном адиабатич. калориметре измерена теплоемкость $c_p(T)$ тв. р-ров $(\text{GaAs})_x(\text{InAs})_{1-x}$ при т-рах 5—300 К. Образцы составов $x=1; 0,8; 0,6; 0,4; 0,2; 0$ получены отжигом в порошке при т-рах, близких к линии солидуса. По значениям $c_p(T)$ рассчитаны величины характеристич. т-р, энталпии, энтропии и свободной энергии Гиббса в исследуемом т-рном интервале. Отмечается близкое к аддитивному расположение кривых указанных термодинамич. функций в зависимости от состава. Отклонения от аддитивности проявляются, гл. обр., при повышенных температурах.

Автореферат

ж. 1983, 19, N 16

$(\text{GaAs})_x \cdot (\text{InAs})_{1-x}$

1983

8 Е373. Термодинамические свойства твердых растворов арсенид галлия — арсенид индия в области 5—300 К. Сирота Н. Н., Новиков В. В., Антюхов А. М. «Ж. физ. химии», 1983, 57, № 3, 542—547

Исследованы термодинамич. ф-ции сплавов $(\text{GaAs})_x \cdot (\text{InAs})_{1-x}$, рассчитанные из эксперим. данных по теплоемкости, при т-рах 5—300 К. Отмечается близкое к аддитивному изменение термодинамич. ф-ций сплавов в зависимости от состава. Небольшие отклонения от аддитивности проявляются при повышенных т-рах. Резюме

ГР

90. 1983, 18; N 8

(GaAs) $_x$ (InAs) $_{(1-x)}$

1983

M. P-P

98: 186698k Thermodynamic properties of gallium arsenide-indium arsenide solid solutions in the 5-300 K range. Sirota, N.

N.; Novikov, V. V.; Antyukhov, A. M. (Bryansk. Gos. Pedagog. Inst., Bryansk, USSR). *Zh. Fiz. Khim.* 1983, 57(3), 542-7 (Russ.). Enthalpies, entropies, and free energy functions of $(\text{GaAs})_x(\text{InAs})_{1-x}$ solid solns. were calcd. from exptl. detd. heat capacity data (10-300 K), for $x = 0, 0.2, 0.4, 0.6, 0.8$, and 1.

$H_T - H_0$, S , C_p ,

Δf° ,

C. A. 1983, 98, n22.

Ин-Га-88

1984

7 Б3043. Термодинамические функции смешения жидких растворов систем In—Ga—Sb и In—Cd—Sb.
Багиров З. Б. «Материалы Респ. конф. молод. научных-химиков, посвящ. 150-летию Д. И. Менделеева, 17—19 апр., 1984». Баку, 1984, 35.

Методом э. д. с. проведено термодинамич. исследование тройных систем In—Ga—Sb и In—Cd—Sb. Измерены э. д. с. концентрац. цепей типа Θ In(ж) InCl, KCl—LiCl/[In—Ga(Cd)—Sb](ж), \oplus в интервале т-р 650—1000 К и конц-ий $x_{In} = 0,1—0,8$ по линиям разрезов x_{Sb} : $x_{Ga(Cd)} = 1/3$; II и III. Рассчитаны и аппроксимированы для индия парц. и интегральные термодинамич. функции смешения жидк. сплавов исследуемых тройных систем.

Из резюме

(1)



Ин-Cd-88

X.1985, 19, N⁷

In - Ga - Sb

1984

102: 6825 In Thermodynamic functions of mixing of gallium-
indium-antimony melts. Study of molten ternary and quaternary
metallic systems. Mamedov, A. N.; Bagirov, Z. B. (Inst. Neorg.
Fiz. Khim., Baku, USSR). Deposited Doc. 1984, VINITI 956-84,
41 pp. (Russ). Avail. VINITI. The activities, free energies and
heats of alloying of In-Ga-Sb melts were calcd. from emf. data
obtained with the conc. cell $\text{In(liq.)}|\text{InCl, KCl-LiCl}|(\text{In-Ga-Sb})(\text{liq.})$ at
800-1000 K and 0.1-0.8 at. fraction In. A ref. list is given of ternary
and quaternary alloy systems studied by emf. methods up to 1983.

(DH, sf
opp. circular)

C.A. 1985, 102, N8

In-Ga-Sb
расчерт

1984

12 Б3051 Деп. Термодинамические функции смешения расплавов системы Ga—In—Sb. Изученность жидких тройных и четверных металлических систем. Мамедов А. Н., Багиров З. Б.; Ин-т неорганической химии АН АЗССР. Баку, 1984. 40 с., ил. Библиогр. 151 назв. (Рукопись деп. в ВИНИТИ 17 февр. 1984 г., № 956—84 Деп.)

Для определения термодинамич. функций смешения жидк. р-ров системы In—Ga—Sb измерены э. д. с. концентрац. цепей Θ , $In(\text{ж})/\text{InCl}$, $\text{KCl}-\text{LiCl}/(\text{In}-\text{Ga}-\text{Sb})$ (ж), Θ в интервале $T=800-1000$ К и конц-ий $x_{\text{In}}=0,1-0,8$ по линиям разрезов x_{Sb} : $x_{\text{Ga}}=3, 1$ и $1/3$. Расчитаны парц. и интегральные избыточные термодинамич. функции смешения тройных р-ров для 1000 К. Рассмотрены возможности расчета избыточных термодинамич. функций смешений расплавов In—Ga—Sb по данным граничных систем. Составлены списки тройных и четверных жидк. металлических систем, изученных методами э. д. с., давл. насыщ. пара и калориметрии по 1983 г. со ссылками на оригинальные работы за период с 1973 по 1983 годы.

Автореферат

X. 1984, 19, N/2

1985

InGaSe₂
InGaTe₂

2 Б2048. Структурное исследование InGaSe₂ и InGaTe₂. Strukturuntersuchungen an InGaSe₂ und InGaTe₂. Deiseroth H.-J., Müller D., Hahn H. «Z. anorg. und allg. Chem.», 1985, 525, № 6, 163—172 (нем., рез. англ.)

Синтезированы (взаимодействием элементов в вакууме при т-ре 550—650° С) и рентгенографически изучены (при комн. т-ре и при т-ре —140 — —130° С, λ Mo, анизотропный МНК, $R = 0,050$ для ~150 отражений) кристаллы InGaSe₂ (I) и InGaTe₂ (II). Для них установлена структура, сходная со структурой TlSe. Параметры тетрагон. решетки ($Z = 4$, ф. гр. $I4/mcm$): I при 20° С $a = 805,1$, $c = 631,7$ пм; при —140° С 800,3, 631,8; II при 20° С 841,2, 687,5; при —130° С 837,8, 685,7. В направлении оси c в структурах проходят цепи из соединенных ребрами тетраэдров GaX₄ (X=Se, Te, I Ga—Se 244,2 пм, Ga—Ga 315,8, II Ga—Te 269,4, Ga—Ga 343,8). Между тетраэдрич. цепями располагаются ряды

Структура

X. 1986, 19, № 2

из атомов In, находящихся в 8-кратной координации в виде квадратной антипризмы (I In—Se 340,1, In—In 315,8; II In—Te 355,1, In—In 343,8 пм). Основным отличием структур I и II от структуры TlSe является частично разупорядоченное распределение атомов In в рядах, параллельных оси *c*, вследствие чего усредненная подрешетка атомов In оказывается несоразмерной с подрешеткой тетраэдров GaX₄. Этот эффект приводит к наличию на дифракц. картинах размытых рефлексов-сателлитов, затрудняющих точное определение положения In. Приведены значения *L*, 20, *hkl* рентгенограммы порошка I.

С. В. Соболева

ре I

Ga_{1-x}In_xAs

1985

20 Б3064. Атомистическое происхождение деформационной энталпии смешения в сплавах [типа] цинковой обманки. The atomic-scale origin of the strain enthalpy of mixing in zincblende alloys. Mikkelsen J. C. Jr. «J. Electrochem. Soc.», 1985, 132, № 2, 500—505 (англ.)

На основе данных об атомарной структуре тв. р-ров Ga_{1-s}In_sAs, ранее полученных из ТС поглощения рентгеновских лучей, определена локальная деформация длин и углов связей в этих трехкомпонентных тв. р-рах по сравнению с соотв. параметрами связей в чистых бинарных соединениях. Найдено, что сумма деформаций, связанных с искажениями длин и углов связей, приводит к выражению для полной энергии деформации $u = a_s X(1-X)$, к-рое имеет такую же форму, как и выражение для энталпии смешения регулярных р-ров (a_s — параметр взаимодействия тв. р-ра, X — мол. доля InAs). Рассчитанное значение a_s хорошо согла-

SHj

X. 1985, 19, № 20.

суется с экспериментально измеренными значениями. Результаты расчетов для 4 др. тв. р-ров типа цинковой обманки подтвердили, что деформация локальной связи является основным вкладом в энталпию смешения, причем рассчитанная энергия деформации связи хорошо согласуется с термохим. параметрами взаимодействия, моделирующими энталпию смешения.

В. Ф. Байбуз

лце
и

$(\text{GaAs})_x(\text{InP})_y(\text{InAs})_{1-x-y}$

1985

102: 226873y Low-temperature heat capacity of solid solutions of the $(\text{GaAs})_x(\text{InP})_y(\text{InAs})_{1-x-y}$ ternary system. Novikov, V. V. (Bryansk. Gos. Univ., Bryansk, USSR). *Zh. Fiz. Khim.* 1985, 59(4), 999-1000 (Russ). Adiabatic calorimetry was used to measure the isobaric heat capacity of $(\text{GaAs})_x(\text{InP})_y(\text{InAs})_{1-x-y}$ at 5-300 K.

(C_p)

c.a. 1985, 102, n26

In_{1-x}Ga_xAs_yP_{1-y}

1985

21 Б3121. Термодинамические расчеты процесса эпитаксиального выращивания кристаллов $In_{1-x}Ga_xAs_yP_{1-y}$ из газовой фазы по трихлоридному методу. Thermodynamic calculation of the VPE growth of $In_{1-x}Ga_xAs_yP_{1-y}$ by the trichloride method. Seki H., Koukitu A. «Jap. J. Appl. Phys.», 1985, Pt 1, 24, № 4, 458—462 (англ.)

Разработан метод расчета термодинамич. св-в многокомпонентной системы, используемой для эпитаксиального выращивания кристаллов $In_{1-x}Ga_xAs_xP_{1-x}$ (I), применяемых в оптич. и микроволновой технике. Особенностью расчета является учет 10 компонентов, присутствующих в газ. фазе при выращивании I по трихлоридному способу: $GeCl$, $GeCl_3$, $InCl$, $InCl_3$, As_4 , As_2 , P_4 , P_2 , HCl и H_2 . Схема расчета основана на учете взаимодействия парообразной фазы, состоящей из H_2+AsCl_3 или H_2+PCl_3 с каждым из трех бинарных соединений $GeAs$, $InAs$ или InP в тв. состоянии. Представлены диаграммы «состав тв. фазы — исходные бинарные соединения», позволяющие производить направленный синтез полупроводниковых кристаллов I с требуемым составом компонентов.

Л. А. Резницкий

X. 1985, 19, № 21

Ингаазр

1985

4 Б3051. Термодинамическое сравнение различных методов газофазной эпитаксии InGaAsP: хлоридного, гидридного и с помощью хлоридов металлоорганических веществ. Thermodynamic comparison of InGaAsP vapor phase epitaxy by chloride, hydride, and metalorganic-chloride methods. Yoshido M., Watanabe H. «J. Electrochem. Soc.», 1985, 132, № 7, 1733—1740 (англ.)

Для сплава $In_{0,74}Ga_{0,26}As_{0,55}P_{0,45}$ (I) проведен термодинамич. анализ влияния скорости потока реагентов и т-ры на состав при разных способах газофазного синтеза: хлоридном с исходными реагентами PCl_3 , $AsCl_3$ и металлич. Ga и In; гидридном с исходными реагентами AsH_3 , PH_3 , HCl , H_2 , Ga и In; металлоорганическо-хлоридном (МО), когда Ga и In подаются в р-ционную зону в виде триэтилгаллия и триэтилиндия, где взаимодействуют с $AsCl_3$ и PCl_3 . В расчет введены константы равновесия 14-ти газофазных р-ций, ур-ния ма-

ж. 1986, 19, № 4

тем. баланса, а также факторы насыщения и полноты протекания процесса. Результаты расчета свидетельствуют, что изменения т-ры на $2,4^\circ$ и скорости потока на 1,2% приводят к отклонению от состава в I не более $3 \cdot 10^{-4}$. Требование к постоянству скорости потока для MO — метода более жесткие: 0,3%. В. В. Чепик

л, ч
олее

Б2001 К.

1986

22 Б2001 К. Выращивание монокристаллов, структура и кристаллохимия полиморфных модификаций GaInS_3 . Амирасланов Р., Гусейнов Г. Т., Азизов Т. Х., Кулиев А. С., Мамедов Х. С. «Ин-т физ. АН АзССР. Препр.», 1986, № 183, 39 с., ил. (рез. англ.)
Методом хим. транспортных р-ций выращены монокристаллы 9 новых разновидностей состава GaInS_3 , расшифрованы их крист. структуры и рассмотрена кристаллохим. взаимосвязь обнаруженных фаз со структурами бинарных и тройных халькогенидов редких элементов. Из резюме

*полиморфные
модификации*

X. 1986, 19, N 22

багыс

1986

11 Е792. Выращивание монокристаллов, структура и кристаллохимия полиморфных модификаций GaInS_3 . Амирасланов И. Р., Гусейнов Г. Т., Азизов Т. Х., Кулиев А. С., Мамедов Х. С. «Ин-т физ. АН АзССР. Препр.», 1986, № 183, 39 с., ил. (рез. англ.)

Методом химических транспортных реакций выращены монокристаллы девяти новых разновидностей GaInS_3 , расшифрованы их кристаллические структуры и рассмотрена кристаллохимич. взаимосвязь обнаруженных фаз со структурами бинарных и тройных халькогенидов редких элементов.

Резюме

оф. 1986, 18, N 11

составлено
GaAs - InP

1986

Андрюхов А.Н., Насвятин-
ков Н.Н.,

XI Всесоюзный конгресс -
исъ по косморесистрии и
космической перспективистике,
Новосибирск, 1986. Тезисы
докладов, ч. I, 3-4, 98-99.

Реферат
Ga-In-Sb

On. 23958) 1985

17 Б3061. Термодинамика системы галлий—индий—сурьма. Thermodynamics of the gallium—indium—antimony system. A selage T. L., Anderson T. J. «High Temp. Sci.», 1985, 20, № 3, 207—230 (англ.)

Из измерений э. д. с. гальванич. ячейки с тв. O^{2-} -ионным электролитом (ТЭ) на основе $ZrO_2+Y_2O_3$ вида $Pt|C|Ga(l)$, $\beta\text{-}Ga_2O_3(s)|T\mathcal{E}|In(l)$, $In_2O_3(s)|C|Pt$ в интервале т-р 852—1097 К получено Δ_fG° ($\beta\text{-}Ga_2O_3$)— Δ_fG° (In_2O_3) = $-41,454 + 0,00237 T \pm 0,108$ ккал/моль. По 3-му закону для токообразующей р-ции $In_2O_3(s) + 2Ga(l) = \beta\text{-}Ga_2O_3(s) + 2In(l)$ найдено $\Delta H_{298}^\circ = -38,89 \pm 0,4$ ккал/моль. Измерения э. д. с. ячейки $Pt|C|Ga(l)$, $\beta\text{-}Ga_2O_3(s)|T\mathcal{E}|(Ga+In+Sb)(l)$, $\beta\text{-}Ga_2O_3(s)|C|Pt$ проведены при 1000 К для двух разрезов с соотношением $x_{In}/x_{Sb} = 1,0$ и 0,5. Определены a_{Ga} и избыточные энергии смешения. Обсуждены отклонения системы от идеальности и надежность предсказания св-в из различ-

термофиз.

X. 1986, 19, N17

ных моделей р-ров по данным для бинарных систем,

А. С. Гузей

(InP)_x (GaAs)_{1-x}
об р-рк

1986

22 Б3059. Термодинамические функции образования твердых растворов арсенида галлия и фосфида индия. Антюхов А. М., Насветников М. Н. «11 Всес. конф. по калориметрии и хим. термодинам., Новосибирск, 17—19 июня, 1986. Тез. докл. Ч. 1». Новосибирск, 1986, 98—99

В интервале т-р 300—420 К измерены э. д. с. гальванич. ячеек InP|глицерин+GaCl₃| $(InP)_x(GaAs)_{1-x}$ для x от 0,1 до 0,9 с шагом 0,2. Результаты представлены графически. Показано, что изученные тв. р-ры устойчивы во всей обл. составов и их устойчивость растет с уменьшением x .

А. С. Гузей

терм. ф-ии
график.

Х. 1986, 19, № 22

Pb-In-Sb (система)

1986

Багиров, Закир Багир оглы.

Термодинамические функции и анализ фазовых диаграмм тройных систем Me—In—Sb(Me—Cd, Ga, Pb) и Ga, In//As, Sb. : Автореф. дис. на соиск. учен. степ. канд. хим. наук. (02.00.04) / АН АзССР, Ин-т неорганич. и физ. химии. — Баку, 1986. — 27 с. : граф.

Библиогр.: с. 26 — 27 (9 назв.).

№ 20959

А 9 № 985 [86-7323a]

ВКП 15—19.12.86

Изд-во «Книга»

ba-In-Sb, ba-In-As
системы

1986

Багиров З. Б.,

Автореф. дис. на соиск.

термоэл. учн. степ. Канд. ~~специ~~
Ф-ши химических наук,
Баку, 1986.

Михаил

1986

21 Б3078. Энергия внутренней деформации и возможность упорядочения в твердых растворах $A_x^{3+}B_{1-x}^{3+}C^5$. Елюхин В. А., Сорокина Л. П. «Докл. АН СССР», 1986, 287, № 6, 1384—1386

В модели поля валентных сил рассчитаны энергии деформации тв. р-ров $A_x^{III}B_{1-x}^{III}C^V$ на примере $In_xGa_{1-x}P$. Показана возможность существования сверхрешетки при $x=0,25, 0,50$ и $0,75$. Разница между энергиями неупорядоченного и полностью упорядоченного состояний максимальна для р-ра с $x=0,75$ и составляет 2700 Дж/моль. При этом энергия деформации полностью упорядоченного состояния этого р-ра составляет 1700 Дж/моль. Указано, что упорядоченное состояние должно быть метастабильным, но в некоторых случаях, напр., для р-ра с $x=0,75$, представляет собой 2 фазы, состоящие из фосфидов In и Ga. А. С. Гузей

X. 1986, 19, № 21

Ga-In-Pb

1986

M. CMAA

107: 29057n Heats of formation of gallium-indium-lead liquid alloys. Rebouillon, R.; Gamblin, M.; Bros, J.-P.; Girard, C.; Baret, R. (Thermodyn. Syst. Met., Univ. Provence, Marseille, Fr.). *Journ. Calorim., Anal. Therm. Thermodyn. Chim.* 1986, 17, 120-5 (Fr). The equil. diagram of the Ga-In-Pb system was studied by DTA. The heats of formation of the molten alloys were detd. calorimetrically at 905 and 684 K, for the Ga/In ratio of 3:1, 1:1, and 1:3 with $0 < x \leq 0.65$ (Pb or In content).

(AfH)

C.A. 1987, 107, NY

Chiaotic

(Um. 26828)

1987

fax 311-219

meproxane
CB - RA.

Anderson T.J.,
Colinet C., et al.,

J. Cryst. Growth, 1987,
83, N2, 252-260.

$\text{Ga}_x \text{In}_{1-x} \text{As}$
crystal

1987

108: 211179b Thermodynamic properties of III-V semiconductor alloys. Ito, Tomonori (LSI Lab., NTT, Atsugi, Japan 243-01). *Oyo Butsuri* 1987, 56(12), 1590-603 (Japan). A review with 82 refs. is given on the thermodyn. properties of the III-V mixed crystals such as $\text{Ga}_x\text{In}_{1-x}\text{As}$, $\text{Al}_x\text{Ga}_{1-x}\text{As}$, and $\text{Ga}_x\text{In}_{1-x}\text{As}_y\text{P}_{1-y}$. Phase stabilities and disorder effects are discussed.

A. Inaba

memos.
cb - RA

(+) \otimes

$\text{Al}_x \text{Ga}_{1-x} \text{As}$



C: A: 1988; 108; N24P

InGaS

1987

14 Б3059. Изомолекулярная обменная реакция $\text{Ga}_2\text{S}(\text{g}) + \text{In}_2\text{S}(\text{g}) = 2\text{InGaS}(\text{g})$. The isomolecular exchange reaction $\text{Ga}_2\text{S}(\text{g}) + \text{In}_2\text{S}(\text{g}) = 2\text{InGaS}(\text{g})$. Mukdeepром Раппее, Edwards Jimmie G. «Thermochim. acta», 1987, 112, № 2, 141—149, (англ.)

С помощью масс-спектрометра, оборудованного графитовой эффузионной ячейкой Кнудсена, в интервале т-р 1060—1350 К, измерена константа равновесия K_p газофазной р-ции $\text{Ga}_2\text{S} + \text{In}_2\text{S} = 2\text{InGaS}$ (I). В кач-ве конденс. фазы использованы смеси исходных сульфидов двух составов: 9 : 1 и 1 : 9. K_p близка к теорет. 4. По 2-му и 3-му законам рассчитаны $\Delta_f H^\circ = 0 \pm \pm 1$ кДж/моль. Для молекуля I принята структура симметрии C_s с расстояниями 2,20 и 2,32 Å для Ga—S и S—In и частотами 207, 130 и 350 см⁻¹. С привлечением лит. данных вычислены $\Delta_f H^\circ (\text{I}, \text{g}, 298) = 80 \pm 18$ кДж/моль и $\Delta_{at} H^\circ (\text{I}, \text{g}, 298) = 710 \pm 18$ кДж/моль.

И. С. Ходеев

X. 1987, 19, N14

(сущ. Ga_2S , I)

ГаInS₃

1988

18 Б2038. Кристаллическая структуры трехпакетного политипа GaInS₃ (III). Амирасланов И. Р., Гусейнов Г. Г., Кулиев А. С., Мамедов Х. С., Амирзиков А. С. «Кристаллография», 1988, 33, № 3, 767—768

Проведен РСТА (λ Mo, $R = 0,062$, 1367 отражений) трехпакетного политипа GaInS₃ (I). Параметры ромбоэдрич. кристаллов I в гексагон. установке равны: $a = 3,808$, $c = 45,894$ Å, ф. гр. $P3m$, $Z = 5$. Структура I аналогична с ZnIn₂S₄, но существенно отличается коэффициентным заполнением металлич. слоев. О. Е. Г.

кристал.
структура

Х. 1988, 19, N 18

Licenses [Om. 29803]

1988

Al + fa + gn

Birard C., Bros J.P.
et al.,

npyg.

Accordant; Ber. Bunsenges. Phys.
Chem., 1988, 92, N°,
745-751.

бах In_{1-x}As

1988

12 Б3148. Компьютерное моделирование химических и фазовых равновесий применительно к процессу осаждения твердых растворов $\text{Ga}_x\text{In}_{1-x}\text{As}$ из газовой фазы: Глазов В. М., Павлова Л. М., Баранов С. Г. «Изв. АН СССР. Неорган. матер.», 1988, 24, № 1, 9—14

С применением метода минимизации энергии Гиббса проведено компьютерное моделирование процесса осаждения тв. р-ров $\text{Ga}_x\text{In}_{1-x}\text{As}$ из газовой фазы. Надежность использования этого метода проиллюстрирована путем сопоставления с результатами расчетов методом констант равновесия и соотв-щими эксперим. данными.

Резюме

X. 1988, 19, N 12

Infas₃

1988

113: 221860j Crystal structure of gallium indium sulfide
(GaInS₃). Guseinov, G. G.; Kyazimov, M. G.; Suliev, A. S.;
Amiraslanov, I. R.; Mekhtiev, G. S. (Inst. Fiz. Baku, USSR). *Dokl.
Akad. Nauk Az. SSR* 1988, 44(7), 26-30 (Russ). Correction of CA
110: 203386t. The title compd. is hexagonal, space group *P3m1*, with
a 3.8105(11) and *c* 18.1905(13) Å; *Z* = 2; *R* = 0.81. The at.
coordinates are given. The crystal packing is described.

(mpyKqpa)

C.A. 1990, 113, N24

баз № 803

1988

4 B15. Синтез молекулярных комплексов Цинтля в газовой фазе. Isolierte, komplexe Zintl-Moleküle in der Gasphase / Hartmann Andreas, Weil Konrad G. // Angew. Chem.—1988.—100, № 8.—С. 1111—1113.—Нем.

Представлен новый вид интерметаллич. молекул, обозначенный как тройные и четвертичные изолир. интерметаллич. молекулярные комплексы Цинтля и включающий соед. цезия, индия, сурьмы, висмута и олова. Для получения таких молекул расплав смеси некоторых из указанных элементов в определенных пропорциях нагревался в кварцевой ампуле, затем ампулы вскрывались в атмосфере аргона и пары анализировали с помощью масс-спектрометрии. Продемонстрировано получение паров след. молекул: Ga₂InSb₃, CsSnSb₃, CsSnBiSb₂, CsSnBi₂Sb и Cs₂Sn₂Sb₂. Е. Г. Матвеева

(7) X
X. 1991, N 4

1988

In_{1-x}Ga_xAs

109: 135946c Mass spectrometric evidence of instability in indium gallium arsenide compounds: activity measurements of indium arsenide. Tmar, Mohamed; Chatillon, Christian (Lab. Thermodyn. Phys.-Chim. Metall., ENSEEG, F-38402 Saint Martin d'Heres, Fr.). *J. Cryst. Growth* 1988, 89(4), 501-10 (Eng). Activity measurements in the In_{1-x}Ga_xAs system were performed by mass spectrometry coupled with a multiple-Knudsen-cell furnace. The condition for reversible vaporization first were analyzed carefully as a function of the orifice to sample surface ratio, given the fact that the measurements of the partial pressure of Ga are doubtful, because equil. conditions are not established for this species in effusion cells. Activities of the InAs compd. were deduced in the pseudo-binary section In_{1-x}Ga_xAs from ionic intensities of As₂⁺, As₄⁺, and Int⁺. The thermodn. behavior of these solid solns. at 950 K shows an unstable compn. domain and consequently, at equil. these mixts. present a miscibility gap. These thermodn. results agree with all x-ray structure measurements showing that the usual elaborated compds. are homogeneous mixts. Agreement between these data and previous calorimetric data is not good, and consistent thermodn. data are still lacking for the GaAs-InAs pseudobinary system.

C.A. 1988, 109, N 16.

$In_{0.75}Ga_{0.25}P$

1989

9 Б3095. Модель фазового перехода в твердом растворе $In_{0.75}Ga_{0.25}P$ / Елюхин В. А. // Кристаллография. — 1989. — 34, № 6. — С. 1558—1560. — Рус.

Используя модификацию Шокли для приближения Горского — Брегга — Вильямса, описан фазовый переход тв. р-ра $In_{0.75}Ga_{0.25}P$ из неупорядоченного состояния в фазу с дальним порядком со сверхструктурой типа Cu_3Au в катионной подрешетке, имеющей г. ц. к. структуру. Поскольку т-ра перехода T_c зависит от разности энергий двух фаз, то выполнен полный расчет свободной энергии тв. р-ра, с учетом энергий деформаций тетрагональных ячеек $4In$, $3In4Ga$, $2In2Ga$, $1In3Ga$ и $4Ga$, имеющихся в системе (расчет проведен по модели поля валентных сил). Найдено, что переход должен произойти при $T_c = 670$ К, степень дальнего порядка системы при этом $s = 0,609$. Определена зависимость $s(T)$ вблизи T_c . Скачкообразное изменение s при T_c свидетельствует о фазовом переходе 1-го рода с $\Delta_{trs}H \approx 950$ Дж/моль.

В. А. Ступников

T_c

X. 1990, № 9

In fax

1989

111: 181907e A critical assessment of thermodynamic and phase diagram data for the gallium-indium system. Rugg, B. C.; Chart, T. G. (Sch. Mater., Univ. Sheffield, Sheffield, UK S1 3JD). *NPL Rep. DMA* (U. K., Natl. Phys. Lab., Div. Mater. Appl.) 1989, DMA(A)174, 20 pp. (Eng). Thermodn. and phase diagram data for the liq. and solid phases of the Ga-In system were critically evaluated. An optimized set of thermodn. parameters consistent with the exptl. data is presented which employs the Redlich-Kister/Margules formalism. The calcd. phase equil. and optimized thermodn. values are compared with those detd. exptl.

opax. group.

C.A. 1989, 111, N20

М-х бах

1990

11 Е295. Термопроводность твердого раствора $In_{1-x}Ga_xAs$ / Алиев М. И., Араслы Д. Г., Рагимов Р. Н., Халилов Х. А. // Изв. АН СССР. Неорг. матер.— 1990.— 26, № 7.— С. 1548—1550

Исследована теплопроводность твердого раствора $In_{1-x}Ga_xAs$ при $0 \leq x \leq 0,1$ в интервале температур 80—300 К. Термопроводность измеряли абсолютным стационарным методом. Монокристаллы, выращенные методом Чохральского при одинаковых условиях, имели концентрацию электронов $3,9 \cdot 10^{17} \text{ см}^{-3}$.

термопровод
носств

сф. 1990, № 11

InGaAs_x

1990

113: 121749m Thermal conductivity of indium gallium arsenide solid solutions. Aliev, M. I.; Arasly, D. G.; Ragimov, R. N.; Khalilov, Kh. A. (Inst. Fiz., Baku, USSR). *Izv. Akad. Nauk SSSR, Neorg. Mater.* 1990, 26(7), 1548-50 (Russ). The thermal conductivities of the solid solns. In_{1-x}Ga_xAs ($0 \leq x \leq 0.08$) were measured by a steady-state method at 80-300 K. For all temps., the cond. decreases with increasing content of Ga, which is explained as due to phonon scattering as well as to the lattice cond. which in all samples decreases with temp.

(merelonytes.)

C.A. 1990, 113, N 14

Б2035

Дн 33660

1990

16 Б2035. Полиморфное превращение ромбической фазы GaInS₃ / Амирасланов И. Р., Асадов Ю. Г., Валиев Р. Б., Мусаев А. А., Гусейнов Г. Г. // Изв. АН СССР. Неорган. матер.— 1990.— 26, № 3.— С. 642—643.— Рус.

Проведено исследование моноокристаллов ромбич. фазы GaInS₃ в интервале 290—1270 К. Показано, что слоистые моноокристаллы I после длит. отжига при

(T_{E2})



Х. 1990, N 16

970 К превращаются в слоистую гексагон. модификацию, причем превращение происходит по типу монокристалл—монокристалл. Образовавшаяся в результате полиморфного превращения гексагон. модификация по параметрам решетки совпадает с данными одного из политипов $(\text{Ca},\text{In})_2\text{S}_3$ с той разницей, что в новой модификации вдоль направления [400] образуется двухкратный псевдопериод, т. е. $a=2a_0$ (где $a_0=3,81 \text{ \AA}$). Можно было ожидать, что выше т-ры превращения ромбич. фазы, т. е. при режиме $T_1=1070$; $T_2=970$ К, из материала того же состава при ХТР вырастут те же гексагон. кристаллы, к-рые были получены при отжиге. Однако монокристаллы, выращенные в указанном режиме, оказались совершенно новой гексагон. фазой с параметрами решетки $a=3,82$, $c=21,12 \text{ \AA}$, ф. гр. $P\bar{3}m1$.

По резюме

ГаInS₃

On 33660 1990

8 Е725. Полиморфное превращение ромбической фазы GaInS₃ / Амирасланов И. Р., Асадов Ю. Г., Валиев Р. Б., Мусаев А. А., Гусейнов Г. Г. // Изв. АН СССР. Неорганические материалы.— 1990.— 26, № 3.— С. 642—643.

На монокристаллах ромбич. фазы соединения GaInS₃ при нагреве в интервале т-р 290—1270 К обнаружены два эндотермич. эффекта при 960 и 1160 К. Рентгенографически структурных переходов в полученном из монокристалла поликристаллич. порошке при нагреве до 1270 К не установлено. Отжиг при 970 К в течение 50 ч приводит к образованию из монокристалла ромбич. фазы монокристалла гексаг. фазы с параметрами элементарной ячейки $a=2\times 3,81 \text{ \AA}$ и $c=36,6 \text{ \AA}$. При отжиге при т-рах 1070 и 970 К возникли монокристаллы гексаг. фазы (пр. гр. $\bar{P}3m1$, $a=3,82 \text{ \AA}$, $c=21,12 \text{ \AA}$). В. Л.

оф. 1990, № 8

GeIn

Дауызов С.Л., 1990
Магомедов А.Б. и гр.

(T_{tz})

Фаз. переходы и мезосостав.
свойства многооксидов и
смесей / АН СССР Дау. ин.
Ин-т физ. Махачкала,
1990. с. 146-152.

(сост. ГарП; I)

In_{1-x}Ga_xAs crystal

1990

118: 132379v Thermodynamic properties of indium gallium arsenide alloy from total energy calculations. Motta, N.; Shaukat, A.; Qteish, A.; Balzarotti, A. (Dip. Fis., Univ. Roma, Via E. Carnevale, 00173 Rome, Italy). *Int. Conf. Phys. Semicond.*, 20th 1990, 3, 2525-8 (Eng). Edited by Anastassakis, E. M.; Joannopoulos, J. D. World Sci.: Singapore, Singapore. The effects of relaxation of the A.B sublattice in pseudobinary A_{1-x}B_xC alloys arising from next-nearest-neighbor (NNN) and distant-neighbor interactions were not satisfactorily included in the study of temp.-comprn. phase diagrams of these alloys. The authors derive the relaxation parameter by fitting the exptl. EXAFS values of the NNN cation-cation distances in the In_{1-x}Ga_xAs alloy. The formation energies of the basic clusters are relaxed and used to compute the miscibility gap of the alloy in the solid phase. The miscibility-gap temp. of the relaxed phase diagram is drastically reduced compared to the unrelaxed one, and it is in better agreement with previous results. The computed NN distances as a function of concn. are in good agreement with the expt.

(4ff)

C.A. 1993, 118, N 14

In fax

1990

113: 30055r A critical assessment of thermodynamic and phase diagram data for the gallium-indium system. Rugg, Bridget C.; Chart, Tim G. (Sch. Mater., Univ. Sheffield, Sheffield, UK S1 3JD). *CALPHAD: Comput. Coupling Phase Diagrams Thermochem.* 1990, 14(2), 115-23 (Eng). Thermodn. and phase diagram data for the liq. and solid phases of the Ga-In system were critically assessed. An optimized set of thermodn. parameters consistent with the exptl. data is presented which employs the Redlich-Kister/Margules formalism. The calcd. phase equil. and optimized thermodn. values are compared with those detd. exptl.

mem. cb-fa

c.A. 1990, 113, NY

Инфо

1991

З Б3063. Система Ga—In (галлий—индий). The Ga—In (gallium—indium) system / Anderson T. J., Ansara I. // J. Phase Equilibria [бывш. Bull. Alloy Phase Diagr.]. — 1991. — 12, № 1. — С. 64—72. — Англ.

Обзор. Систематизированы данные по фазовым равновесиям системы Ga—In. Диаграмма фазовых равновесий системы имеет эвтектику при конц-ии In 14,2 ат.% и т-ре 15,3° С. Рассмотрена метастабильная диаграмма фазовых равновесий с эвтектикой при 6,3 ат.% In и т-ре —28,3° С, а также структура метастабильных фаз. Оценены термодинамич. х-ки системы Ga—In, их зависимость от конц-ии элементов и температуры. Библ. 44.

В. А. Коржов

термо
Характер
свойства

ж. 1992, № 3

Уфа 3

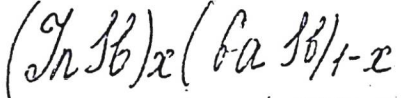
1991

- 7 Б3104. Выращивание монокристаллов и кристаллическая структура полиморфных модификаций InGaS_3
Гусейнов Г. Г., Амирасланов И. Р., Валиев Р. Б.,
Асадов Ф. Ю. // Тез. докл. 3 Всес. науч.-техн. конф.
«Материаловед. халькогенид. полупровод.», окт., 1991.
Т. 2/Черновиц. гос. ун-т.— Черновцы, 1991.— С. 167.—
Рус.

кристал
структур

X. 1992, N 7.

1992


 $x = 0,3; 0,5; 7$

7Е201. Теплопроводность антимонидов галлия, индия и твердых растворов на их основе в зависимости от давления и температуры / Магомедов Я. Б., Крамынина Н. Л., Исмаилов Ш. М. // Физ. тверд. тела (С.-Петербург). — 1992. — 34, № 9. — С. 2780—2784. — Рус.

Абсолютным компенсационным методом в стационарном тепловом режиме исследовано влияние всестороннего давления (до 0,35 ГПа) на теплопроводность антимонидов галлия, индия и твердых растворов на их основе $(InSb)_x(GaSb)_{1-x}$ в поликристаллической модификации, где $x = 0,3; 0,5; 7$. Рассматриваются причины роста фононной теплопроводности под воздействием давления и изменение ее в твердых растворах в зависимости от состава и давления.

(72)

8

(2)

 $(InSb)_x(GaSb)_{1-x}$
~~GaSb~~
 1) антиモンид га
 2) — · — · In

окт 1993, № 7

Ga-In-Sb
alloys

1992

116: 260231m Thermodynamic analysis and phase equilibria calculations of the gallium-indium-antimony system. Sharma, R. C.; Mukerjee, I. (Dep. Metall. Eng., Indian Inst. Technol., Kanpur, 208 016 India). *J. Phase Equil.* 1992, 13(1), 5-15 (Eng). A quasi sub-subregular soln. model is used to describe the thermodn. properties of the liq. phase in the ternary Ga-In-Sb system. The ternary compd., $(Ga_xIn_{1-x})Sb$, is considered a regular solid soln. of the stoichiometric compds., GaSb and InSb. Previous data on the thermodn. properties and phase equil. in the Ga-In-Sb system are used to obtain optimum values of the model parameters. Using optimized model parameters, phase equil. and thermodn. properties of Ga-In-Sb are calcd. and compared with the previous exptl. data.

(nepnlofH)

C.A. 1992, 116, N 26

SB-Ga-Tr

1993

Жуковский Ю.Р.,
Кропеева Н.В. и гр.

(P, AH_r) Распавов. 1993. N3.
с. 87-88.



(ces. SB; I)

Ga-In

1993

119 35190q Thermodynamics and phase equilibria in the system gallium-indium using multi-parameter functions. Reddy, S Ravindra; Hajra, Jnan P. (Dep. Metall., Indian Inst. Sci., Bangalore 560 012 India). CALPHAD: Comput. Coupling Phase Diagrams Thermochem. 1993, 17(2), 181-8 (Eng). A four- and a five-parameter functions are used to analyze and interpret the high and low temp. thermodyn. data and phase equill. in the Ga-In system.

MENOGUR
CB - GA

C. A. 1993, 119, N4

fa - JI - ff

1994

metallocut

CO - fa

An assessment of phase diagram and thermodynamic properties of the gallium-indium-antimony system. Yang, Wataon, Andy (Shanghai Inst. Technical Physics, Chinese Academy of Science, Shanghai, Peop. Rep. China 200033). CALPHAD: Coupling Phase Diagrams Thermochem. 1994, 18(2), 129-139. The exptl. thermodn. and phase diagram data of the ternary system have been critically assessed. A thermodyn. model that is consistent with the selected exptl. data has been developed with the aid of ternary optimizing program TERGSS. The calculated thermodyn. properties and phase diagrams were carried out by THERMOSA.

c.A. 1994, 121, N 10

бадна

1995

23Б242. Предсказание новых свидетельств
упорядочение в сплавах GaInP₂. Prediction of new
fingerprints of ordering in GaInP₂ alloys / Franceschetti A.,
Wei S. H., Zunger A. // Abstr. Mater. Res. Soc. Fall Meet.,
Boston. Mass., Nov. 27 — Dec. 1, 1995.— Boston (Mass.),
1995.— С. 1-7.— Англ.

X. 1997, N 23

InGaH₆

1996

Bennett F.R., Connelly J.P.

J. Phys. Chem. 1996, 100,
N 22. C. 9308-9313.

(See InBH₆; I)

байды

1997

15Б343. Фазовые равновесия в системе $\text{Ga}_2\text{O}_3-\text{In}_2\text{O}_3$. Phase equilibria in the $\text{Ga}_2\text{O}_3-\text{In}_2\text{O}_3$ system / Edwards Doreen D., Folkins Pollyanna E., Mason Thomas O. // J. Amer. Ceram. Soc.—1997.—80, № 1.—С. 253—257.—Англ. Место хранения ГПНТБ

Методами дифракции рентгеновских лучей и электронного микроанализа исследованы субсолидусные фазовые соотношения в системе $\text{Ga}_2\text{O}_3-\text{In}_2\text{O}_3$ при т-рах 800—1400 °C. Предельная р-римость In_2O_3 в $\beta\text{-}\text{Ga}_2\text{O}_3$ уменьшается с повышением т-ры от $44,1 \pm 0,5$ мол. % при 1000 °C до $41,4 \pm 0,5$ мол. % при 1400 °C. Предельная р-римость Ga_2O_3 в кубич. In_2O_3 возрастает с т-рой от $4,8 \pm 0,5$ мол.% при 1000 °C до $10,0 \pm 0,5$ мол.% при 1400 °C. Ранее обнаруженная прозрачная проводящая фаза в системе Ga—In—O не м. б. GaInO_3 , к-рая неустойчива, а по-видимому, является тв. р-ром $\beta\text{-}\text{Ga}_2\text{O}_3$, легированным индием.

В. Ф. Байбуз



Х. 1997, N 15

Calc T_{in} F_x

1998

F: CdF2

P: 1

· 4Б2157. Фазовая диаграмма системы CdF[2]-InF[3] и
рост кристаллов / Ивано П., Федоров П. П. // 10
Симп. по химии неорган. Фторидов: фторид. матер.,
Москва, 9-11 июня, 1998: Тез. докл. - М., 1998. -
С. 61. - Рус.

Система CdF[2]-InF[3] изучена методами
дифференциального термического и рентгенофазового
анализов. Фазовая диаграмма системы CdF[2]-InF[3]
эвтектического типа (температура эвтектики 800'+-
'5pC) с областью твердог растворы Cd[1-
x]In[x]F[2+x], где x'<='0,19'+'0,02. Полученные
данные хор согласуются с установленной ранее
зависимостью предельной растворимости R в CdF[2]
[4]. Часть диаграммы со стороны InF[3] определить

эксперименталь удалось из-за его сильной летучести. Однако, параметр решетки второй фазы идентифицированной как InF_3 , остается постоянным. Это может свидетельствовать о том, что твердый раствор на основе InF_3 не образует На основании полученных кривых солидуса и ликвидуса рассчитан равновесный коэффициент распределения InF_3 в CdF_2 , $k - C_{\text{тв}}/C_{\text{ж}} = 0,38$. Методом Бриджмена выращены монокристаллы твердого раствора, содержащие 1, 5 и 10% InF_3 . Полученные кристаллы оптически прозрачны, без видимых включений, коричневого цвета. Изменение цвета вызвано частичным восстановлением $\text{In}^{3+} \rightarrow \text{In}^{+}$.

F: Ga-In-As-Sb-C-H

1999

P: 1

132:55426 Thermodynamic analysis of the Ga-In-As-Sb-C-H system. Li, Jing-Bo; Zhang, Wei-Jing; Li, Chang-Rong; Du, Zhen-Min Department of Materials Science and Engineering, University of Science and Technology B

Beijing 100083, Peop. Rep. China J. Cryst. Growth, 207(1/2), 20-26 (English) 1999 The Ga-In-As-Sb-C-H system composed of 8 phases and 74 gaseous species is set up analyzed thermodynamically to simulate the metalorg. vapor-phase epitaxy process for (Ga, In)(As, Sb) semiconductor growth. Several phase diagram s and the compn. dependences of semiconductors on the amt. of input III-V s are calcd. with the conditions defined according to the practical MOVPE processes. The exptl. data are collected and compared with the calcd. re

C.A. 2000, 132

2000

F: Ga-In-Te

P: 1

133:23031 Experimental investigation and
thermodynamic calculation of excess enthalpies in
the Ga-In-Te system. Blachnik, Roger; Klose, Erwin

Anorganische Chemie, Universitat Osnabruck

Osnabruck D-49069, Germany J. Alloys

Compd., 305(1-2), 144-152 (English) 2000 The excess
enthalpies of liq. alloys in the ternary system Ga-
In-Te were detd. at 1173 K in a heat flow
calorimeter for five sections GayIn1- with $y = 0.2$,



CA 2000, 133

0.4, 0.5, 0.6 and 0.8 and, in addn., for the section Ga_{0.5}In_{0.5}-Te at 973 and 1073 K. The enthalpy surface in the ternary sys is detd. by a valley of exothermic min. stretching from a min. at the com Ga₂Te₃ to a min. at compn. In₂Te₃ in the binaries. The excess enthalpies the binary systems were adapted using the Lukas program. Ternary interactions were taken into account for the anal. description of excess enthalpies of the ternary system.

Al-Ga-In-P-As-Sb-C-H

2001

135: 364684v A thermodynamic database of the Al-Ga-In-P-As-Sb-C-H system and its application in the design of an epitaxy process for III-V semiconductors. Zhang, W.; Li, Ch.; Du, Z. (School of Materials Science and Engineering, University of Science and Technology Beijing, Beijing, Peop. Rep. China 100083). *J. Phase Equilib.* 2001, 22(4), 475-481 (Eng), ASM International. With the help of Thermo-Calc software and based on the thermodn. database of the Al-Ga-In-P-As-Sb-C-H system, the compositional spaces under conditions of different temps. and pressures can be calcd. and analyzed in the cases of stable, metastable equil., or irreversible reactions. Compared with traditional methods, more information can be obtained from the present calcn. Such information is useful to computer-assisted design for OMVPE processing of III-V semiconductors.

MEMO. Faya
gatwick

C.H. 2001, 135, 125

In₉Te₂

1

Галичи

2001

F: PbTe-GaInTe₂ In₉Te₂

P: 1

02.16-19Б3.42. Формулировка диаграммы состояния
PbTe-GaInTe[2] / Шахин О. Абилов Ч. И. // 7
Республиканская научная конференция "Физико-
химический анализ и неорганическое
материаловедение", Баку, 21-23 мая, 2001 : Сборни
статей. - Баку, 2001. - С. 49-53. - Рус.; рез.
азерб. Выявлен характер взаимодействия между
соединениями PbTe-GaInTe[2]. Состав полиномы для

каждой линии диаграммы состояния системы PbTe-GaInTe[2],
реш которых позволяет определить координаты отдельных
составов во всем концентрационном интервале
взаимодействующих компонентов. Библ. 3.